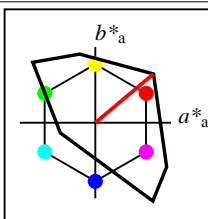


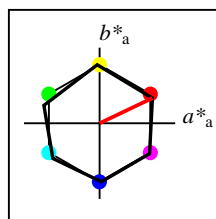
%Umfang
 $u^*_{rel} = 158$
%Regularität
 $g^*_{H,rel} = 20$
 $g^*_{C,rel} = 37$

TLS00	$L^*=L^*_a$	a^*_a	b^*_a	$C^*_{ab,a}$	$h^*_{ab,a}$
O _M	50.5	76.92	64.55	100.42	40
Y _M	92.66	-20.69	90.75	93.08	103
L _M	83.63	-82.75	79.9	115.04	136
C _M	86.88	-46.16	-13.55	48.12	196
V _M	30.39	76.06	-103.59	128.52	306
M _M	57.3	94.35	-58.41	110.97	328
N _M	0.01	0.0	0.0	0.0	0
W _M	95.41	0.0	0.0	0.0	0
R _{CIE}	39.92	58.74	27.99	65.07	25
J _{CIE}	81.26	-2.88	71.56	71.62	92
G _{CIE}	52.23	-42.41	13.6	44.55	162
B _{CIE}	30.57	1.41	-46.46	46.49	272



%Umfang
 $u^*_{rel} = 158$
%Regularität
 $g^*_{H,rel} = 20$
 $g^*_{C,rel} = 37$

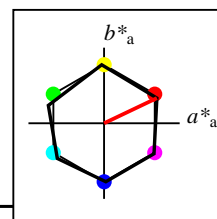
TLS00a; adaptierte CIELAB-Daten	$L^*=L^*_a$	a^*_a	b^*_a	$C^*_{ab,a}$	$h^*_{ab,a}$
O _{Ma}	50.5	76.92	64.55	100.42	40
Y _{Ma}	92.66	-20.69	90.75	93.08	103
L _{Ma}	83.63	-82.75	79.9	115.04	136
C _{Ma}	86.88	-46.16	-13.55	48.12	196
V _{Ma}	30.39	76.06	-103.59	128.52	306
M _{Ma}	57.3	94.35	-58.41	110.97	328
N _{Ma}	0.01	0.0	0.0	0.0	0
W _{Ma}	95.41	0.0	0.0	0.0	0
R _{CIE}	39.92	58.74	27.99	65.07	25
J _{CIE}	81.26	-2.88	71.56	71.62	92
G _{CIE}	52.23	-42.41	13.6	44.55	162
B _{CIE}	30.57	1.41	-46.46	46.49	272



%Umfang
 $u^*_{rel} = 100$
%Regularität
 $g^*_{H,rel} = 78$
 $g^*_{C,rel} = 100$

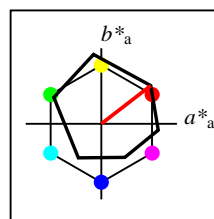
NRS18a; adaptierte CIELAB-Daten	$L^*=L^*_a$	a^*_a	b^*_a	$C^*_{ab,a}$	$h^*_{ab,a}$
O _{Ma}	56.71	69.87	33.29	77.4	25
Y _{Ma}	56.71	-3.1	77.34	77.4	92
L _{Ma}	56.71	-73.68	23.63	77.39	162
C _{Ma}	56.71	-61.81	-46.54	77.39	217
V _{Ma}	56.71	2.35	-77.34	77.39	272
M _{Ma}	56.71	66.07	-40.3	77.4	329
N _{Ma}	18.01	0.0	0.0	0.0	0
W _{Ma}	95.41	0.0	0.0	0.0	0
R _{CIE}	39.92	58.74	27.99	65.07	25
J _{CIE}	81.26	-2.88	71.56	71.62	92
G _{CIE}	52.23	-42.41	13.6	44.55	162
B _{CIE}	30.57	1.41	-46.46	46.49	272

Workflow-Wahlen
für Farbmuster:
1. keine Farbänderung
2. Buntton-Änderung
3. Buntheits-Änderung



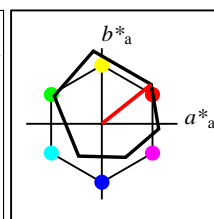
%Umfang
 $u^*_{rel} = 100$
%Regularität
 $g^*_{H,rel} = 78$
 $g^*_{C,rel} = 100$

NRS18a; adaptierte CIELAB-Daten	$L^*=L^*_a$	a^*_a	b^*_a	$C^*_{ab,a}$	$h^*_{ab,a}$
O _{Ma}	56.71	69.87	33.29	77.4	25
Y _{Ma}	56.71	-3.1	77.34	77.4	92
L _{Ma}	56.71	-73.68	23.63	77.39	162
C _{Ma}	56.71	-61.81	-46.54	77.39	217
V _{Ma}	56.71	2.35	-77.34	77.39	272
M _{Ma}	56.71	66.07	-40.3	77.4	329
N _{Ma}	18.01	0.0	0.0	0.0	0
W _{Ma}	95.41	0.0	0.0	0.0	0
R _{CIE}	39.92	58.74	27.99	65.07	25
J _{CIE}	81.26	-2.88	71.56	71.62	92
G _{CIE}	52.23	-42.41	13.6	44.55	162
B _{CIE}	30.57	1.41	-46.46	46.49	272



%Umfang
 $u^*_{rel} = 93$
%Regularität
 $g^*_{H,rel} = 57$
 $g^*_{C,rel} = 59$

ORS18a; adaptierte CIELAB-Daten	$L^*=L^*_a$	a^*_a	b^*_a	$C^*_{ab,a}$	$h^*_{ab,a}$
O _{Ma}	47.94	65.39	50.52	82.63	38
Y _{Ma}	90.37	-10.26	91.75	92.32	96
L _{Ma}	50.9	-62.83	34.96	71.91	151
C _{Ma}	58.62	-30.34	-45.01	54.3	236
V _{Ma}	25.72	31.1	-44.4	54.22	305
M _{Ma}	48.13	75.28	-8.36	75.74	354
N _{Ma}	18.01	0.0	0.0	0.0	0
W _{Ma}	95.41	0.0	0.0	0.0	0
R _{CIE}	39.92	58.66	26.98	64.57	25
J _{CIE}	81.26	-2.16	67.76	67.79	92
G _{CIE}	52.23	-42.25	11.76	43.87	164
B _{CIE}	30.57	1.15	-46.84	46.86	271



%Umfang
 $u^*_{rel} = 94$
%Regularität
 $g^*_{H,rel} = 58$
 $g^*_{C,rel} = 54$

ORS18	$L^*=L^*_a$	a^*_a	b^*_a	$C^*_{ab,a}$	$h^*_{ab,a}$
O _M	47.94	65.31	52.07	83.53	39
Y _M	90.37	-11.15	96.17	96.82	97
L _M	50.9	-62.96	36.71	72.89	150
C _M	58.62	-30.62	-42.74	52.59	234
V _M	25.72	31.45	-44.35	54.38	305
M _M	48.13	75.2	-6.79	75.51	355
N _M	18.01	0.5	-0.46	0.69	317
W _M	95.41	-0.98	4.76	4.86	102
R _{CIE}	39.92	58.74	27.99	65.07	25
J _{CIE}	81.26	-2.88	71.56	71.62	92
G _{CIE}	52.23	-42.41	13.6	44.55	162
B _{CIE}	30.57	1.41	-46.46	46.49	272

Relatives CIELAB-Buntheitsdiagramm: ($a_R^* = lab^*a$, $b_R^* = lab^*b$) und **absolutes CIELAB Bunttondreiecks-Diagramm:** (L^* , C_{ab}^*) für Ein- (---) und Ausgabe (----) TLS00: Eingabe (i) Farbmatrik-Sytem; Sechs Bunttonwinkel des Farbgerätes: (40.0, 102.8, 136.0, 196.4, 306.3, 328.2); Vier Bunttonwinkel der Elementarfarben: (25.5, 92.3, 162.2, 271.7) ORS18: Ausgabe (o) Farbmatrik-Sytem; Sechs Bunttonwinkel des Farbgerätes: (37.7, 96.4, 150.9, 236.0, 305.0, 353.7); Vier Bunttonwinkel der Elementarfarben: (24.7, 91.8, 164.5, 271.4)

Y Gelb

olv3Mi = 1.0 1.0 0.0
olv3Mo = 0.881 1.0 0.0
LCHMi = 92.7 93.1 103
LCHo = 85.7 89.9 103
tchMi = 0.5 1.0 0.286
tchMo = 0.5 1.0 0.286

L Laubgrün

olv3Mi = 0.0 1.0 0.0
olv3Mo = 0.273 1.0 0.0
LCHMi = 83.6 115.0 136
LCHo = 61.7 77.5 136
tchMi = 0.5 1.0 0.378
tchMo = 0.5 1.0 0.378

C Cyanblau

olv3Mi = 0.0 1.0 1.0
olv3Mo = 0.0 1.0 0.534
LCHMi = 86.9 48.1 196
LCHo = 55.0 62.5 196
tchMi = 0.5 1.0 0.545
tchMo = 0.5 1.0 0.545

O Orangerot

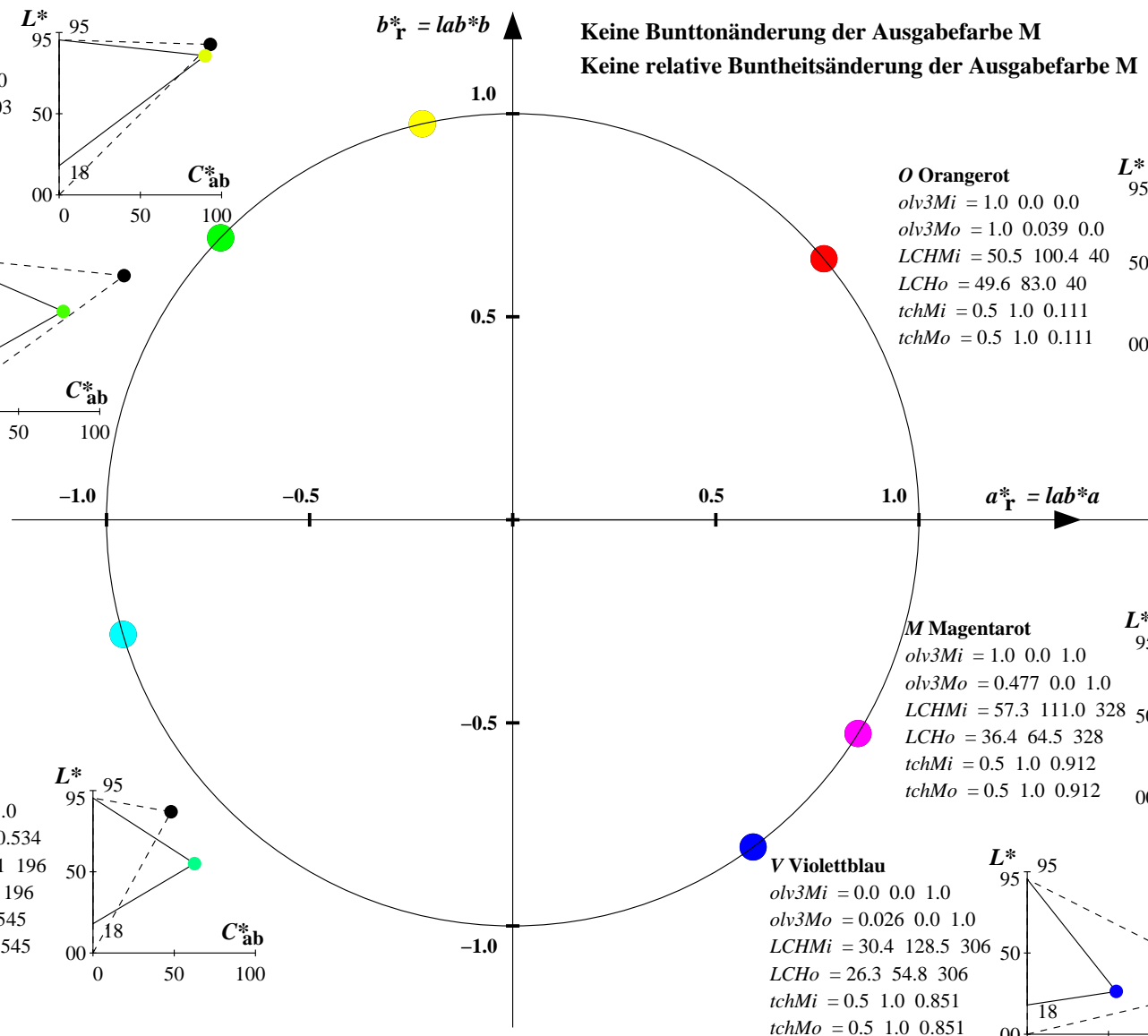
olv3Mi = 1.0 0.0 0.0
olv3Mo = 1.0 0.039 0.0
LCHMi = 50.5 100.4 40
LCHo = 49.6 83.0 40
tchMi = 0.5 1.0 0.111
tchMo = 0.5 1.0 0.111

M Magentarot

olv3Mi = 1.0 0.0 1.0
olv3Mo = 0.477 0.0 1.0
LCHMi = 57.3 111.0 328
LCHo = 36.4 64.5 328
tchMi = 0.5 1.0 0.912
tchMo = 0.5 1.0 0.912

V Violettblau

olv3Mi = 0.0 0.0 1.0
olv3Mo = 0.026 0.0 1.0
LCHMi = 30.4 128.5 306
LCHo = 26.3 54.8 306
tchMi = 0.5 1.0 0.851
tchMo = 0.5 1.0 0.851



Relatives CIELAB-Buntheitsdiagramm: ($a^*_r = lab^*a$, $b^*_r = lab^*b$) und absolutes CIELAB Bunttondreiecks-Diagramm: (L^* , C^*_{ab}) für Ein- (---) und Ausgabe (----) TLS00: Eingabe (i) Farbmatrik-Sytem; Sechs Bunttonwinkel des Farbgerätes: (40.0, 102.8, 136.0, 196.4, 306.3, 328.2); Vier Bunttonwinkel der Elementarfarben: (25.5, 92.3, 162.2, 271.7) ORS18: Ausgabe (o) Farbmatrik-Sytem; Sechs Bunttonwinkel des Farbgerätes: (37.7, 96.4, 150.9, 236.0, 305.0, 353.7); Vier Bunttonwinkel der Elementarfarben: (24.7, 91.8, 164.5, 271.4)

Y Gelb

olv3Mi = 1.0 1.0 0.0
olv3Mo = 0.698 1.0 0.0
LCHMi = 92.7 93.1 103
LCHo = 78.4 86.2 113
tchMi = 0.5 1.0 0.286
tchMo = 0.5 1.0 0.313

L Laubgrün

olv3Mi = 0.0 1.0 0.0
olv3Mo = 0.09 1.0 0.0
LCHMi = 83.6 115.0 136
LCHo = 54.4 73.7 146
tchMi = 0.5 1.0 0.378
tchMo = 0.5 1.0 0.406

C Cyanblau

olv3Mi = 0.0 1.0 1.0
olv3Mo = 0.0 1.0 0.652
LCHMi = 86.9 48.1 196
LCHo = 55.9 60.4 206
tchMi = 0.5 1.0 0.545
tchMo = 0.5 1.0 0.573

O Orangerot

olv3Mi = 1.0 0.0 0.0
olv3Mo = 1.0 0.21 0.0
LCHMi = 50.5 100.4 40
LCHo = 56.8 84.7 50
tchMi = 0.5 1.0 0.111
tchMo = 0.5 1.0 0.139

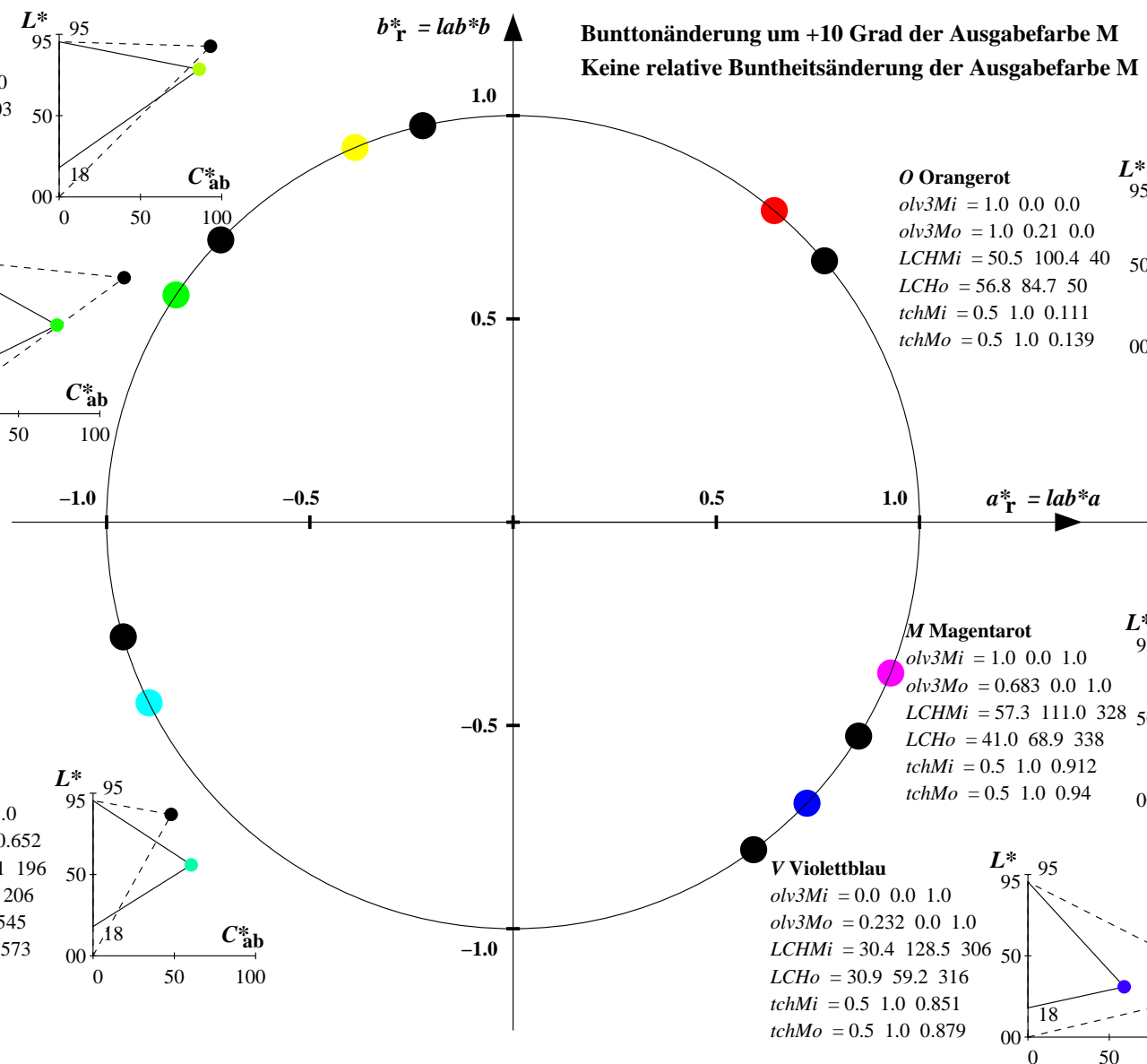
M Magentarot

olv3Mi = 1.0 0.0 1.0
olv3Mo = 0.683 0.0 1.0
LCHMi = 57.3 111.0 328
LCHo = 41.0 68.9 338
tchMi = 0.5 1.0 0.912
tchMo = 0.5 1.0 0.94

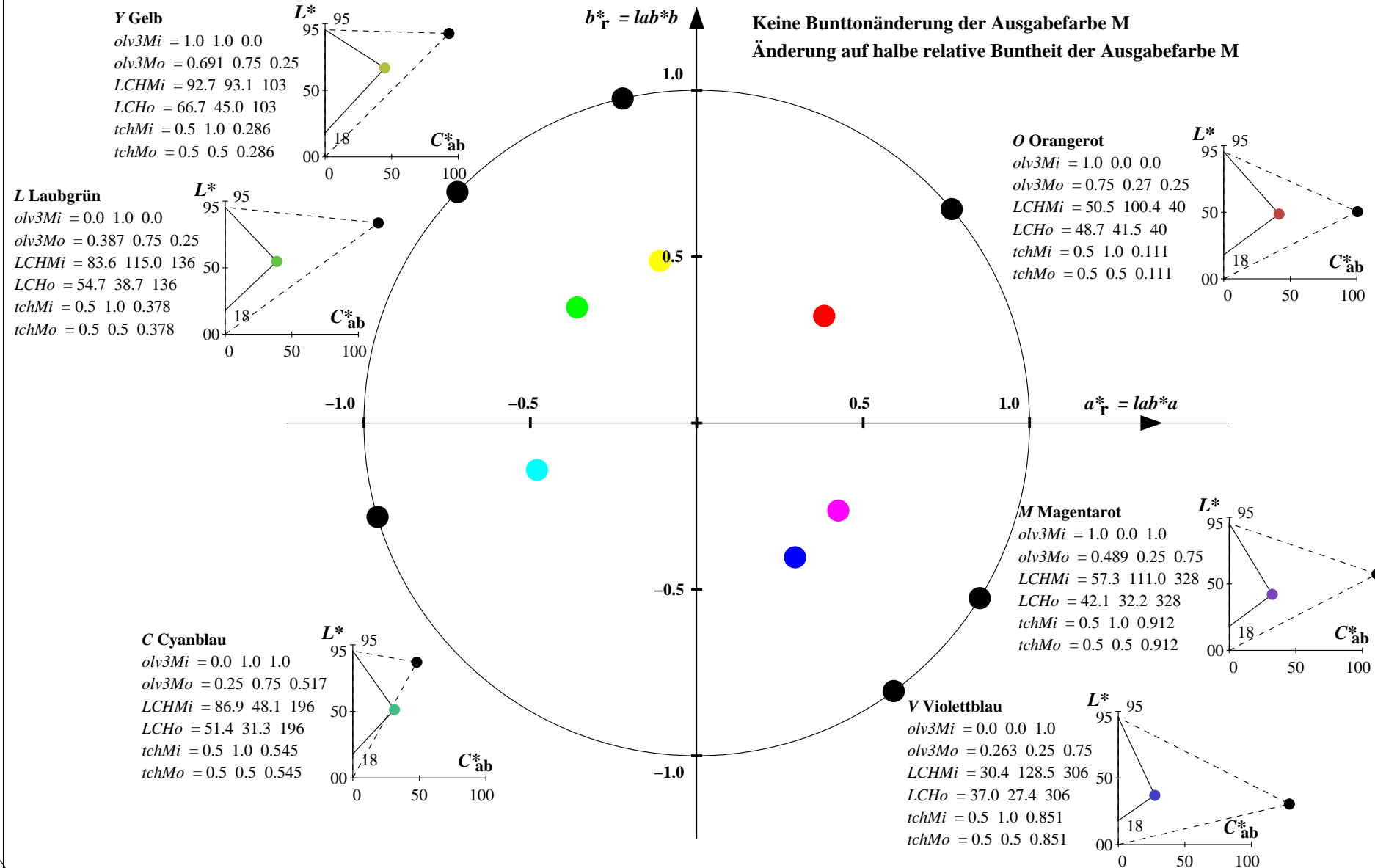
V Violettblau

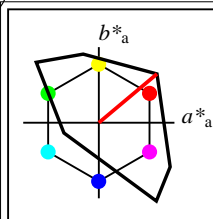
olv3Mi = 0.0 0.0 1.0
olv3Mo = 0.232 0.0 1.0
LCHMi = 30.4 128.5 306
LCHo = 30.9 59.2 316
tchMi = 0.5 1.0 0.851
tchMo = 0.5 1.0 0.879

Bunttonänderung um +10 Grad der Ausgabefarbe M
Keine relative Buntheitsänderung der Ausgabefarbe M



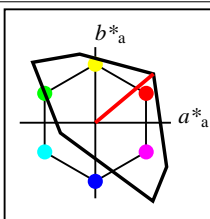
Relatives CIELAB-Buntheitsdiagramm: ($a_R^* = lab^*a$, $b_R^* = lab^*b$) und **absolutes CIELAB Bunttondreiecks-Diagramm:** (L^* , C_{ab}^*) für Ein- (---) und Ausgabe (----) TLS00: Eingabe (i) Farbmatrik-Sytem; Sechs Bunttonwinkel des Farbgerätes: (40.0, 102.8, 136.0, 196.4, 306.3, 328.2); Vier Bunttonwinkel der Elementarfarben: (25.5, 92.3, 162.2, 271.7) ORS18: Ausgabe (o) Farbmatrik-Sytem; Sechs Bunttonwinkel des Farbgerätes: (37.7, 96.4, 150.9, 236.0, 305.0, 353.7); Vier Bunttonwinkel der Elementarfarben: (24.7, 91.8, 164.5, 271.4)





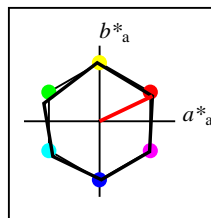
%Umfang
 $u^*_{rel} = 158$
%Regularität
 $g^*_{H,rel} = 20$
 $g^*_{C,rel} = 37$

TLS00	$L^*=L^*_a$	a^*_a	b^*_a	$C^*_{ab,a}$	$h^*_{ab,a}$
O _M	50.5	76.92	64.55	100.42	40
Y _M	92.66	-20.69	90.75	93.08	103
L _M	83.63	-82.75	79.9	115.04	136
C _M	86.88	-46.16	-13.55	48.12	196
V _M	30.39	76.06	-103.59	128.52	306
M _M	57.3	94.35	-58.41	110.97	328
N _M	0.01	0.0	0.0	0.0	0
W _M	95.41	0.0	0.0	0.0	0
R _{CIE}	39.92	58.74	27.99	65.07	25
J _{CIE}	81.26	-2.88	71.56	71.62	92
G _{CIE}	52.23	-42.41	13.6	44.55	162
B _{CIE}	30.57	1.41	-46.46	46.49	272



%Umfang
 $u^*_{rel} = 158$
%Regularität
 $g^*_{H,rel} = 20$
 $g^*_{C,rel} = 37$

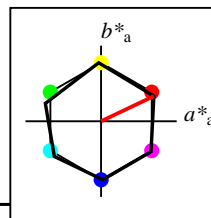
TLS00a; adaptierte CIELAB-Daten	$L^*=L^*_a$	a^*_a	b^*_a	$C^*_{ab,a}$	$h^*_{ab,a}$
O _{Ma}	50.5	76.92	64.55	100.42	40
Y _{Ma}	92.66	-20.69	90.75	93.08	103
L _{Ma}	83.63	-82.75	79.9	115.04	136
C _{Ma}	86.88	-46.16	-13.55	48.12	196
V _{Ma}	30.39	76.06	-103.59	128.52	306
M _{Ma}	57.3	94.35	-58.41	110.97	328
N _{Ma}	0.01	0.0	0.0	0.0	0
W _{Ma}	95.41	0.0	0.0	0.0	0
R _{CIE}	39.92	58.74	27.99	65.07	25
J _{CIE}	81.26	-2.88	71.56	71.62	92
G _{CIE}	52.23	-42.41	13.6	44.55	162
B _{CIE}	30.57	1.41	-46.46	46.49	272



%Umfang
 $u^*_{rel} = 100$
%Regularität
 $g^*_{H,rel} = 78$
 $g^*_{C,rel} = 100$

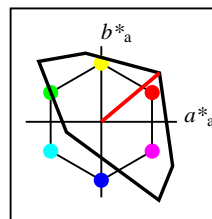
NRS18a; adaptierte CIELAB-Daten	$L^*=L^*_a$	a^*_a	b^*_a	$C^*_{ab,a}$	$h^*_{ab,a}$
O _{Ma}	56.71	69.87	33.29	77.4	25
Y _{Ma}	56.71	-3.1	77.34	77.4	92
L _{Ma}	56.71	-73.68	23.63	77.39	162
C _{Ma}	56.71	-61.81	-46.54	77.39	217
V _{Ma}	56.71	2.35	-77.34	77.39	272
M _{Ma}	56.71	66.07	-40.3	77.4	329
N _{Ma}	18.01	0.0	0.0	0.0	0
W _{Ma}	95.41	0.0	0.0	0.0	0
R _{CIE}	39.92	58.74	27.99	65.07	25
J _{CIE}	81.26	-2.88	71.56	71.62	92
G _{CIE}	52.23	-42.41	13.6	44.55	162
B _{CIE}	30.57	1.41	-46.46	46.49	272

Workflow-Wahlen
für Farbmuster:
1. keine Farbänderung
2. Buntton-Änderung
3. Buntheits-Änderung



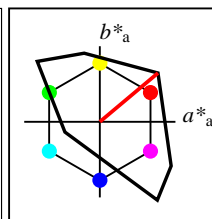
%Umfang
 $u^*_{rel} = 100$
%Regularität
 $g^*_{H,rel} = 78$
 $g^*_{C,rel} = 100$

NRS18a; adaptierte CIELAB-Daten	$L^*=L^*_a$	a^*_a	b^*_a	$C^*_{ab,a}$	$h^*_{ab,a}$
O _{Ma}	56.71	69.87	33.29	77.4	25
Y _{Ma}	56.71	-3.1	77.34	77.4	92
L _{Ma}	56.71	-73.68	23.63	77.39	162
C _{Ma}	56.71	-61.81	-46.54	77.39	217
V _{Ma}	56.71	2.35	-77.34	77.39	272
M _{Ma}	56.71	66.07	-40.3	77.4	329
N _{Ma}	18.01	0.0	0.0	0.0	0
W _{Ma}	95.41	0.0	0.0	0.0	0
R _{CIE}	39.92	58.74	27.99	65.07	25
J _{CIE}	81.26	-2.88	71.56	71.62	92
G _{CIE}	52.23	-42.41	13.6	44.55	162
B _{CIE}	30.57	1.41	-46.46	46.49	272



%Umfang
 $u^*_{rel} = 158$
%Regularität
 $g^*_{H,rel} = 20$
 $g^*_{C,rel} = 37$

TLS00a; adaptierte CIELAB-Daten	$L^*=L^*_a$	a^*_a	b^*_a	$C^*_{ab,a}$	$h^*_{ab,a}$
O _{Ma}	50.5	76.92	64.55	100.42	40
Y _{Ma}	92.66	-20.69	90.75	93.08	103
L _{Ma}	83.63	-82.75	79.9	115.04	136
C _{Ma}	86.88	-46.16	-13.55	48.12	196
V _{Ma}	30.39	76.06	-103.59	128.52	306
M _{Ma}	57.3	94.35	-58.41	110.97	328
N _{Ma}	0.01	0.0	0.0	0.0	0
W _{Ma}	95.41	0.0	0.0	0.0	0
R _{CIE}	39.92	58.74	27.99	65.07	25
J _{CIE}	81.26	-2.88	71.56	71.62	92
G _{CIE}	52.23	-42.41	13.6	44.55	162
B _{CIE}	30.57	1.41	-46.46	46.49	272



%Umfang
 $u^*_{rel} = 158$
%Regularität
 $g^*_{H,rel} = 20$
 $g^*_{C,rel} = 37$

TLS00	$L^*=L^*_a$	a^*_a	b^*_a	$C^*_{ab,a}$	$h^*_{ab,a}$
O _M	50.5	76.92	64.55	100.42	40
Y _M	92.66	-20.69	90.75	93.08	103
L _M	83.63	-82.75	79.9	115.04	136
C _M	86.88	-46.16	-13.55	48.12	196
V _M	30.39	76.06	-103.59	128.52	306
M _M	57.3	94.35	-58.41	110.97	328
N _M	0.01	0.0	0.0	0.0	0
W _M	95.41	0.0	0.0	0.0	0
R _{CIE}	39.92	58.74	27.99	65.07	25
J _{CIE}	81.26	-2.88	71.56	71.62	92
G _{CIE}	52.23	-42.41	13.6	44.55	162
B _{CIE}	30.57	1.41	-46.46	46.49	272

Relatives CIELAB-Buntheitsdiagramm: ($a_R^* = lab^*a$, $b_R^* = lab^*b$) und absolutes CIELAB Bunttondreiecks-Diagramm: (L^* , C_{ab}^*) für Ein- (—) und Ausgabe (---)
TLS00: Eingabe (i) Farbmatrik-Sytem; Sechs Bunttonwinkel des Farbgerätes: (40.0, 102.8, 136.0, 196.4, 306.3, 328.2); Vier Bunttonwinkel der Elementarfarben: (25.5, 92.3, 162.2, 271.7)
TLS00: Ausgabe (o) Farbmatrik-Sytem; Sechs Bunttonwinkel des Farbgerätes: (40.0, 102.8, 136.0, 196.4, 306.3, 328.2); Vier Bunttonwinkel der Elementarfarben: (25.5, 92.3, 162.2, 271.7)

Y Gelb

olv3Mi = 1.0 1.0 0.0
olv3Mo = 1.0 1.0 0.0
LCHMi = 92.7 93.1 103
LCHo = 92.7 93.1 103
tchMi = 0.5 1.0 0.286
tchMo = 0.5 1.0 0.286

L Laubgrün

olv3Mi = 0.0 1.0 0.0
olv3Mo = 0.0 1.0 0.0
LCHMi = 83.6 115.0 136
LCHo = 83.6 115.0 136
tchMi = 0.5 1.0 0.378
tchMo = 0.5 1.0 0.378

C Cyanblau

olv3Mi = 0.0 1.0 1.0
olv3Mo = 0.0 1.0 1.0
LCHMi = 86.9 48.1 196
LCHo = 86.9 48.1 196
tchMi = 0.5 1.0 0.545
tchMo = 0.5 1.0 0.545

O Orangerot

olv3Mi = 1.0 0.0 0.0
olv3Mo = 1.0 0.0 0.0
LCHMi = 50.5 100.4 40
LCHo = 50.5 100.4 40
tchMi = 0.5 1.0 0.111
tchMo = 0.5 1.0 0.111

M Magentarot

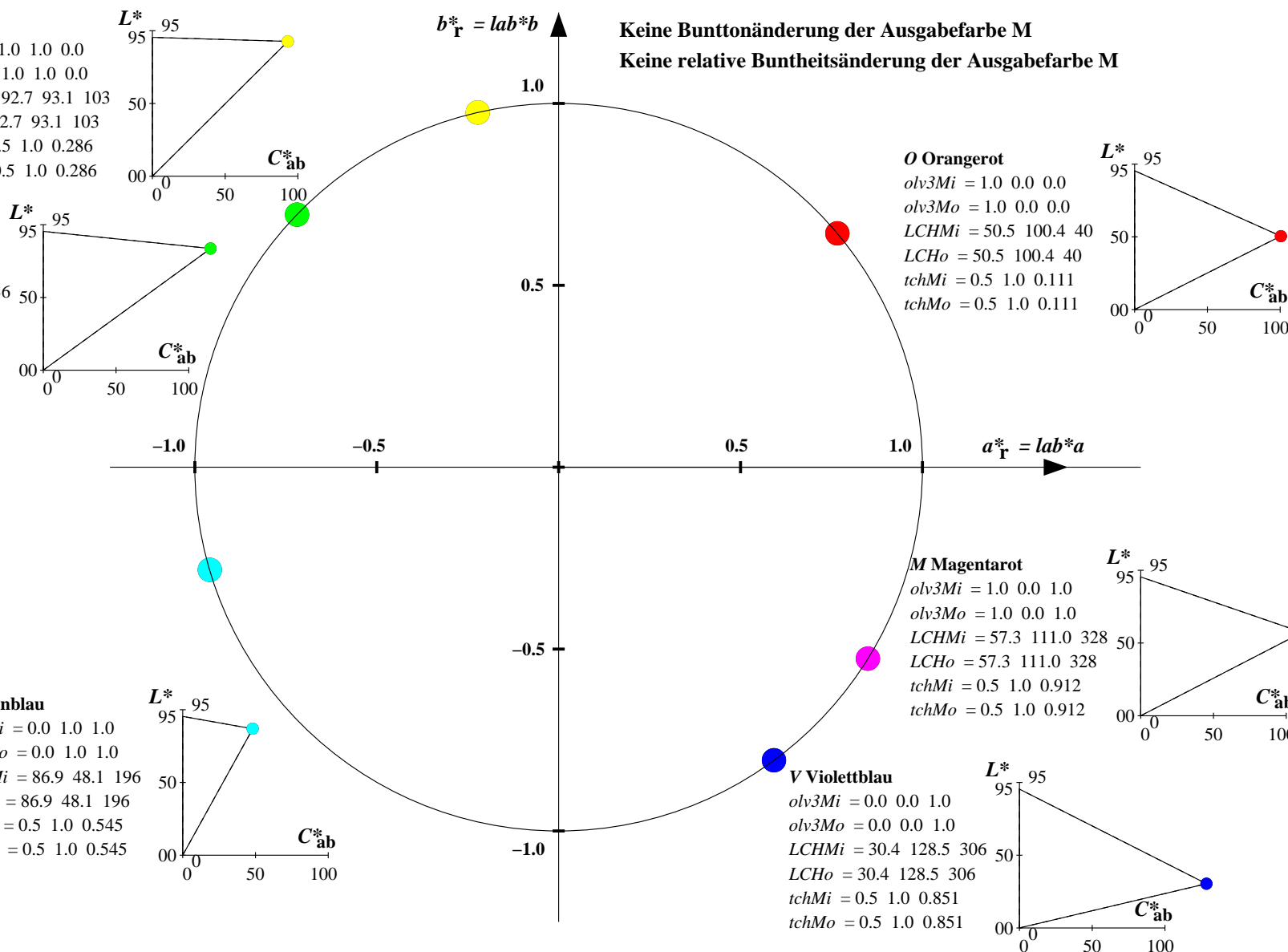
olv3Mi = 1.0 0.0 1.0
olv3Mo = 1.0 0.0 1.0
LCHMi = 57.3 111.0 328
LCHo = 57.3 111.0 328
tchMi = 0.5 1.0 0.912
tchMo = 0.5 1.0 0.912

V Violettblau

olv3Mi = 0.0 0.0 1.0
olv3Mo = 0.0 0.0 1.0
LCHMi = 30.4 128.5 306
LCHo = 30.4 128.5 306
tchMi = 0.5 1.0 0.851
tchMo = 0.5 1.0 0.851

Keine Bunttonänderung der Ausgabefarbe M

Keine relative Buntheitsänderung der Ausgabefarbe M



Relatives CIELAB-Buntheitsdiagramm: ($a^*_r = lab^*a$, $b^*_r = lab^*b$) und absolutes CIELAB Bunttondreiecks-Diagramm: (L^* , C^*_{ab}) für Ein- (---) und Ausgabe (----) TLS00: Eingabe (i) Farbmatrik-Sytem; Sechs Bunttonwinkel des Farbgerätes: (40.0, 102.8, 136.0, 196.4, 306.3, 328.2); Vier Bunttonwinkel der Elementarfarben: (25.5, 92.3, 162.2, 271.7)
TLS00: Ausgabe (o) Farbmatrik-Sytem; Sechs Bunttonwinkel des Farbgerätes: (40.0, 102.8, 136.0, 196.4, 306.3, 328.2); Vier Bunttonwinkel der Elementarfarben: (25.5, 92.3, 162.2, 271.7)

Y Gelb

olv3Mi = 1.0 1.0 0.0
olv3Mo = 0.698 1.0 0.0
LCHMi = 92.7 93.1 103
LCHo = 89.9 99.7 113
tchMi = 0.5 1.0 0.286
tchMo = 0.5 1.0 0.313

L Laubgrün

olv3Mi = 0.0 1.0 0.0
olv3Mo = 0.0 1.0 0.166
LCHMi = 83.6 115.0 136
LCHo = 84.2 103.9 146
tchMi = 0.5 1.0 0.378
tchMo = 0.5 1.0 0.406

C Cyanblau

olv3Mi = 0.0 1.0 1.0
olv3Mo = 0.0 0.909 1.0
LCHMi = 86.9 48.1 196
LCHo = 81.7 55.4 206
tchMi = 0.5 1.0 0.545
tchMo = 0.5 1.0 0.573

O Orangerot

olv3Mi = 1.0 0.0 0.0
olv3Mo = 1.0 0.159 0.0
LCHMi = 50.5 100.4 40
LCHo = 57.2 99.2 50
tchMi = 0.5 1.0 0.111
tchMo = 0.5 1.0 0.139

M Magentarot

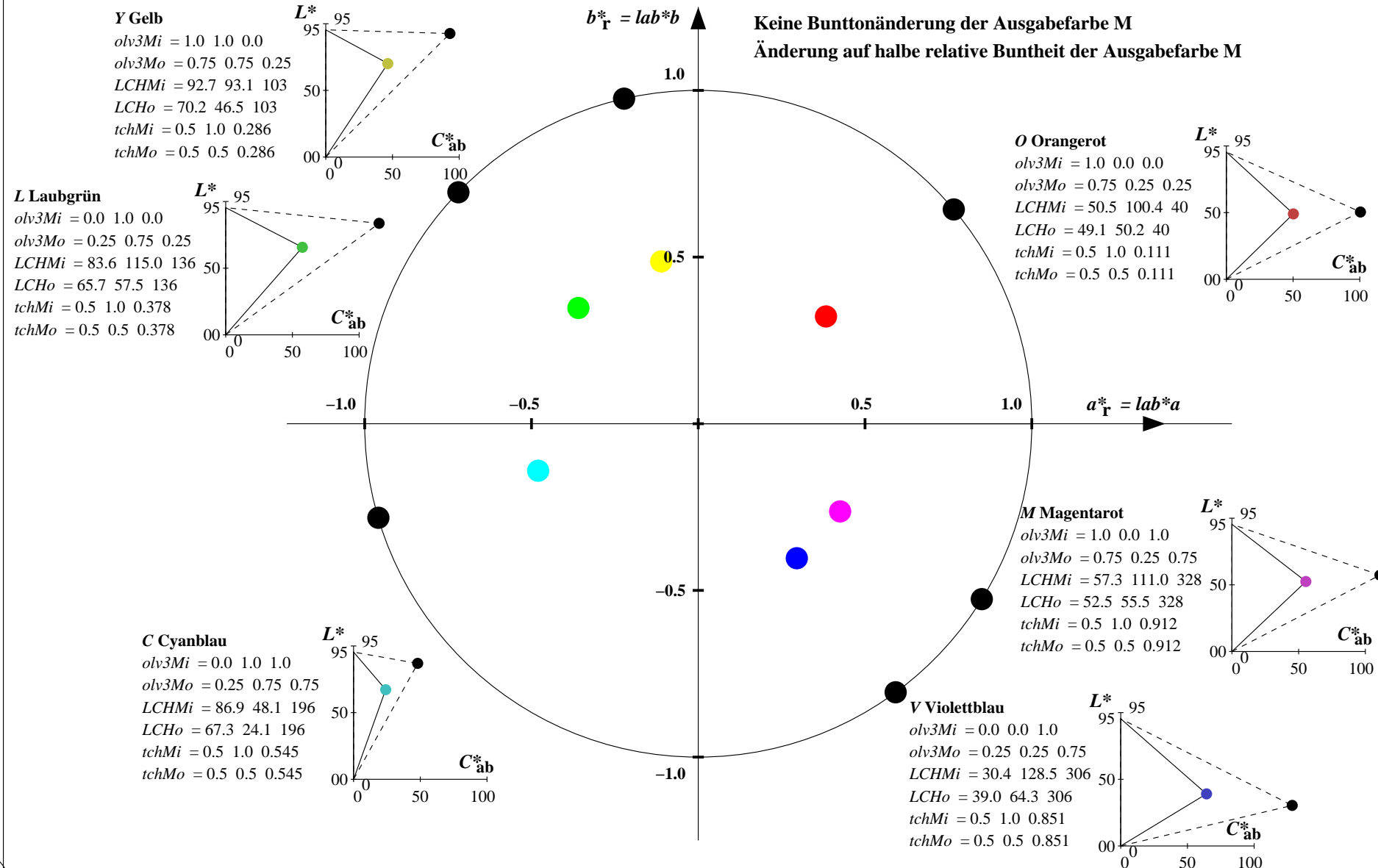
olv3Mi = 1.0 0.0 1.0
olv3Mo = 1.0 0.0 0.861
LCHMi = 57.3 111.0 328
LCHo = 56.4 109.5 338
tchMi = 0.5 1.0 0.912
tchMo = 0.5 1.0 0.94

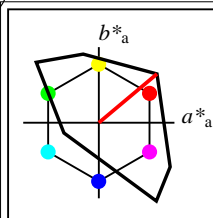
V Violettblau

olv3Mi = 0.0 0.0 1.0
olv3Mo = 0.456 0.0 1.0
LCHMi = 30.4 128.5 306
LCHo = 42.7 120.5 316
tchMi = 0.5 1.0 0.851
tchMo = 0.5 1.0 0.879

Bunttonänderung um +10 Grad der Ausgabefarbe M
Keine relative Buntheitsänderung der Ausgabefarbe M

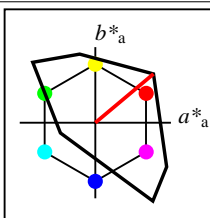
Relatives CIELAB-Buntheitsdiagramm: ($a_R^* = lab^*a$, $b_R^* = lab^*b$) und absolutes CIELAB Bunttondreiecks-Diagramm: (L^* , C_{ab}^*) für Ein- (---) und Ausgabe (----) TLS00: Eingabe (i) Farbmatrik-Sytem; Sechs Bunttonwinkel des Farbgerätes: (40.0, 102.8, 136.0, 196.4, 306.3, 328.2); Vier Bunttonwinkel der Elementarfarben: (25.5, 92.3, 162.2, 271.7)
TLS00: Ausgabe (o) Farbmatrik-Sytem; Sechs Bunttonwinkel des Farbgerätes: (40.0, 102.8, 136.0, 196.4, 306.3, 328.2); Vier Bunttonwinkel der Elementarfarben: (25.5, 92.3, 162.2, 271.7)





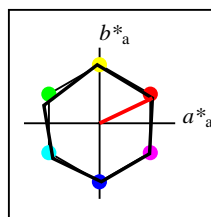
%Umfang
 $u^*_{rel} = 158$
%Regularität
 $g^*_{H,rel} = 20$
 $g^*_{C,rel} = 37$

TLS00	$L^*=L^*_a$	a^*_a	b^*_a	$C^*_{ab,a}$	$h^*_{ab,a}$
O _M	50.5	76.92	64.55	100.42	40
Y _M	92.66	-20.69	90.75	93.08	103
L _M	83.63	-82.75	79.9	115.04	136
C _M	86.88	-46.16	-13.55	48.12	196
V _M	30.39	76.06	-103.59	128.52	306
M _M	57.3	94.35	-58.41	110.97	328
N _M	0.01	0.0	0.0	0.0	0
W _M	95.41	0.0	0.0	0.0	0
R _{CIE}	39.92	58.74	27.99	65.07	25
J _{CIE}	81.26	-2.88	71.56	71.62	92
G _{CIE}	52.23	-42.41	13.6	44.55	162
B _{CIE}	30.57	1.41	-46.46	46.49	272



%Umfang
 $u^*_{rel} = 158$
%Regularität
 $g^*_{H,rel} = 20$
 $g^*_{C,rel} = 37$

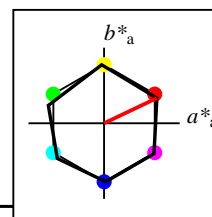
TLS00a; adaptierte CIELAB-Daten	$L^*=L^*_a$	a^*_a	b^*_a	$C^*_{ab,a}$	$h^*_{ab,a}$
O _{Ma}	50.5	76.92	64.55	100.42	40
Y _{Ma}	92.66	-20.69	90.75	93.08	103
L _{Ma}	83.63	-82.75	79.9	115.04	136
C _{Ma}	86.88	-46.16	-13.55	48.12	196
V _{Ma}	30.39	76.06	-103.59	128.52	306
M _{Ma}	57.3	94.35	-58.41	110.97	328
N _{Ma}	0.01	0.0	0.0	0.0	0
W _{Ma}	95.41	0.0	0.0	0.0	0
R _{CIE}	39.92	58.74	27.99	65.07	25
J _{CIE}	81.26	-2.88	71.56	71.62	92
G _{CIE}	52.23	-42.41	13.6	44.55	162
B _{CIE}	30.57	1.41	-46.46	46.49	272



%Umfang
 $u^*_{rel} = 100$
%Regularität
 $g^*_{H,rel} = 78$
 $g^*_{C,rel} = 100$

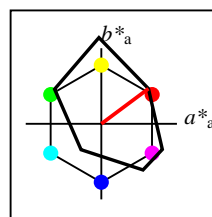
NRS18a; adaptierte CIELAB-Daten	$L^*=L^*_a$	a^*_a	b^*_a	$C^*_{ab,a}$	$h^*_{ab,a}$
O _{Ma}	56.71	69.87	33.29	77.4	25
Y _{Ma}	56.71	-3.1	77.34	77.4	92
L _{Ma}	56.71	-73.68	23.63	77.39	162
C _{Ma}	56.71	-61.81	-46.54	77.39	217
V _{Ma}	56.71	2.35	-77.34	77.39	272
M _{Ma}	56.71	66.07	-40.3	77.4	329
N _{Ma}	18.01	0.0	0.0	0.0	0
W _{Ma}	95.41	0.0	0.0	0.0	0
R _{CIE}	39.92	58.74	27.99	65.07	25
J _{CIE}	81.26	-2.88	71.56	71.62	92
G _{CIE}	52.23	-42.41	13.6	44.55	162
B _{CIE}	30.57	1.41	-46.46	46.49	272

Workflow-Wahlen
für Farbmuster:
1. keine Farbänderung
2. Buntton-Änderung
3. Buntheits-Änderung



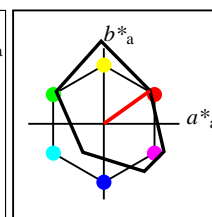
%Umfang
 $u^*_{rel} = 100$
%Regularität
 $g^*_{H,rel} = 78$
 $g^*_{C,rel} = 100$

NRS18a; adaptierte CIELAB-Daten	$L^*=L^*_a$	a^*_a	b^*_a	$C^*_{ab,a}$	$h^*_{ab,a}$
O _{Ma}	56.71	69.87	33.29	77.4	25
Y _{Ma}	56.71	-3.1	77.34	77.4	92
L _{Ma}	56.71	-73.68	23.63	77.39	162
C _{Ma}	56.71	-61.81	-46.54	77.39	217
V _{Ma}	56.71	2.35	-77.34	77.39	272
M _{Ma}	56.71	66.07	-40.3	77.4	329
N _{Ma}	18.01	0.0	0.0	0.0	0
W _{Ma}	95.41	0.0	0.0	0.0	0
R _{CIE}	39.92	58.74	27.99	65.07	25
J _{CIE}	81.26	-2.88	71.56	71.62	92
G _{CIE}	52.23	-42.41	13.6	44.55	162
B _{CIE}	30.57	1.41	-46.46	46.49	272



%Umfang
 $u^*_{rel} = 115$
%Regularität
 $g^*_{H,rel} = 28$
 $g^*_{C,rel} = 38$

FRS06a; adaptierte CIELAB-Daten	$L^*=L^*_a$	a^*_a	b^*_a	$C^*_{ab,a}$	$h^*_{ab,a}$
O _{Ma}	32.57	62.32	46.49	77.75	37
Y _{Ma}	82.73	-3.16	113.99	114.03	92
L _{Ma}	39.43	-61.79	45.84	76.95	143
C _{Ma}	47.86	-26.79	-34.24	43.49	232
V _{Ma}	10.16	55.12	-61.03	82.24	312
M _{Ma}	34.5	80.68	-33.92	87.52	337
N _{Ma}	6.25	0.0	0.0	0.0	0
W _{Ma}	91.97	0.0	0.0	0.0	0
R _{CIE}	39.92	59.8	31.05	67.38	27
J _{CIE}	81.26	-2.52	76.25	76.29	92
G _{CIE}	52.23	-41.56	17.14	44.96	158
B _{CIE}	30.57	2.63	-43.77	43.86	273



%Umfang
 $u^*_{rel} = 114$
%Regularität
 $g^*_{H,rel} = 28$
 $g^*_{C,rel} = 43$

FRS06	$L^*=L^*_a$	a^*_a	b^*_a	$C^*_{ab,a}$	$h^*_{ab,a}$
O _M	32.57	61.14	43.72	75.16	36
Y _M	82.73	-3.5	109.24	109.3	92
L _M	39.43	-62.86	42.8	76.06	146
C _M	47.86	-27.72	-37.61	46.74	234
V _M	10.16	53.56	-62.91	82.63	310
M _M	34.5	79.53	-36.76	87.62	335
N _M	6.25	-1.62	-1.72	2.38	227
W _M	91.97	-0.17	-5.1	5.11	268
R _{CIE}	39.92	58.74	27.99	65.07	25
J _{CIE}	81.26	-2.88	71.56	71.62	92
G _{CIE}	52.23	-42.41	13.6	44.55	162
B _{CIE}	30.57	1.41	-46.46	46.49	272

Relatives CIELAB-Buntheitsdiagramm: ($a_R^* = lab^*a$, $b_R^* = lab^*b$) und absolutes CIELAB Bunttondreiecks-Diagramm: (L^* , C_{ab}^*) für Ein- (---) und Ausgabe (----) TLS00: Eingabe (i) Farbmatrik-Sytem; Sechs Bunttonwinkel des Farbgerätes: (40.0, 102.8, 136.0, 196.4, 306.3, 328.2); Vier Bunttonwinkel der Elementarfarben: (25.5, 92.3, 162.2, 271.7) FRS06: Ausgabe (o) Farbmatrik-Sytem; Sechs Bunttonwinkel des Farbgerätes: (36.7, 91.6, 143.4, 232.0, 312.1, 337.2); Vier Bunttonwinkel der Elementarfarben: (27.4, 91.9, 157.6, 273.4)

Y Gelb

olv3Mi = 1.0 1.0 0.0
olv3Mo = 0.783 1.0 0.0
LCHMi = 92.7 93.1 103
LCHo = 73.3 106.0 103
tchMi = 0.5 1.0 0.286
tchMo = 0.5 1.0 0.286

L Laubgrün

olv3Mi = 0.0 1.0 0.0
olv3Mo = 0.143 1.0 0.0
LCHMi = 83.6 115.0 136
LCHo = 45.6 82.3 136
tchMi = 0.5 1.0 0.378
tchMo = 0.5 1.0 0.378

C Cyanblau

olv3Mi = 0.0 1.0 1.0
olv3Mo = 0.0 1.0 0.598
LCHMi = 86.9 48.1 196
LCHo = 44.5 56.9 196
tchMi = 0.5 1.0 0.545
tchMo = 0.5 1.0 0.545

O Orangerot

olv3Mi = 1.0 0.0 0.0
olv3Mo = 1.0 0.06 0.0
LCHMi = 50.5 100.4 40
LCHo = 35.6 79.9 40
tchMi = 0.5 1.0 0.111
tchMo = 0.5 1.0 0.111

M Magentarot

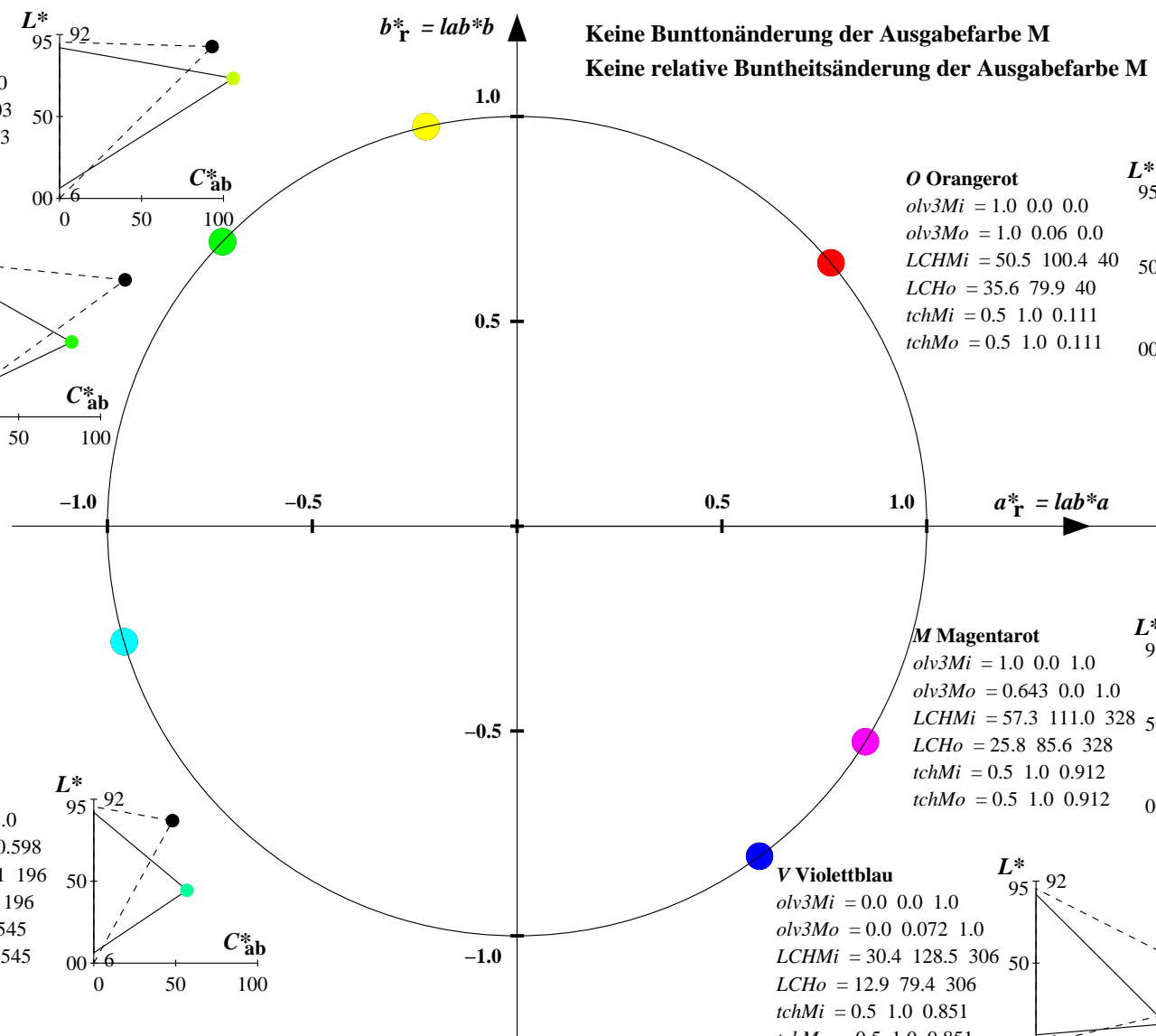
olv3Mi = 1.0 0.0 1.0
olv3Mo = 0.643 0.0 1.0
LCHMi = 57.3 111.0 328
LCHo = 25.8 85.6 328
tchMi = 0.5 1.0 0.912
tchMo = 0.5 1.0 0.912

V Violettblau

olv3Mi = 0.0 0.0 1.0
olv3Mo = 0.0 0.072 1.0
LCHMi = 30.4 128.5 306
LCHo = 12.9 79.4 306
tchMi = 0.5 1.0 0.851
tchMo = 0.5 1.0 0.851

Keine Bunttonänderung der Ausgabefarbe M

Keine relative Buntheitsänderung der Ausgabefarbe M



Relatives CIELAB-Buntheitsdiagramm: ($a^*_r = lab^*a$, $b^*_r = lab^*b$) und absolutes CIELAB Bunttondreiecks-Diagramm: (L^* , C^*_{ab}) für Ein- (---) und Ausgabe (----) TLS00: Eingabe (i) Farbmatrik-Sytem; Sechs Bunttonwinkel des Farbgerätes: (40.0, 102.8, 136.0, 196.4, 306.3, 328.2); Vier Bunttonwinkel der Elementarfarben: (25.5, 92.3, 162.2, 271.7) FRS06: Ausgabe (o) Farbmatrik-Sytem; Sechs Bunttonwinkel des Farbgerätes: (36.7, 91.6, 143.4, 232.0, 312.1, 337.2); Vier Bunttonwinkel der Elementarfarben: (27.4, 91.9, 157.6, 273.4)

Y Gelb

olv3Mi = 1.0 1.0 0.0
olv3Mo = 0.59 1.0 0.0
LCHMi = 92.7 93.1 103
LCHo = 65.0 98.8 113
tchMi = 0.5 1.0 0.286
tchMo = 0.5 1.0 0.313

L Laubgrün

olv3Mi = 0.0 1.0 0.0
olv3Mo = 0.0 1.0 0.029
LCHMi = 83.6 115.0 136
LCHo = 39.7 76.0 146
tchMi = 0.5 1.0 0.378
tchMo = 0.5 1.0 0.406

C Cyanblau

olv3Mi = 0.0 1.0 1.0
olv3Mo = 0.0 1.0 0.711
LCHMi = 86.9 48.1 196
LCHo = 45.4 53.2 206
tchMi = 0.5 1.0 0.545
tchMo = 0.5 1.0 0.573

O Orangerot

olv3Mi = 1.0 0.0 0.0
olv3Mo = 1.0 0.242 0.0
LCHMi = 50.5 100.4 40
LCHo = 44.7 86.5 50
tchMi = 0.5 1.0 0.111
tchMo = 0.5 1.0 0.139

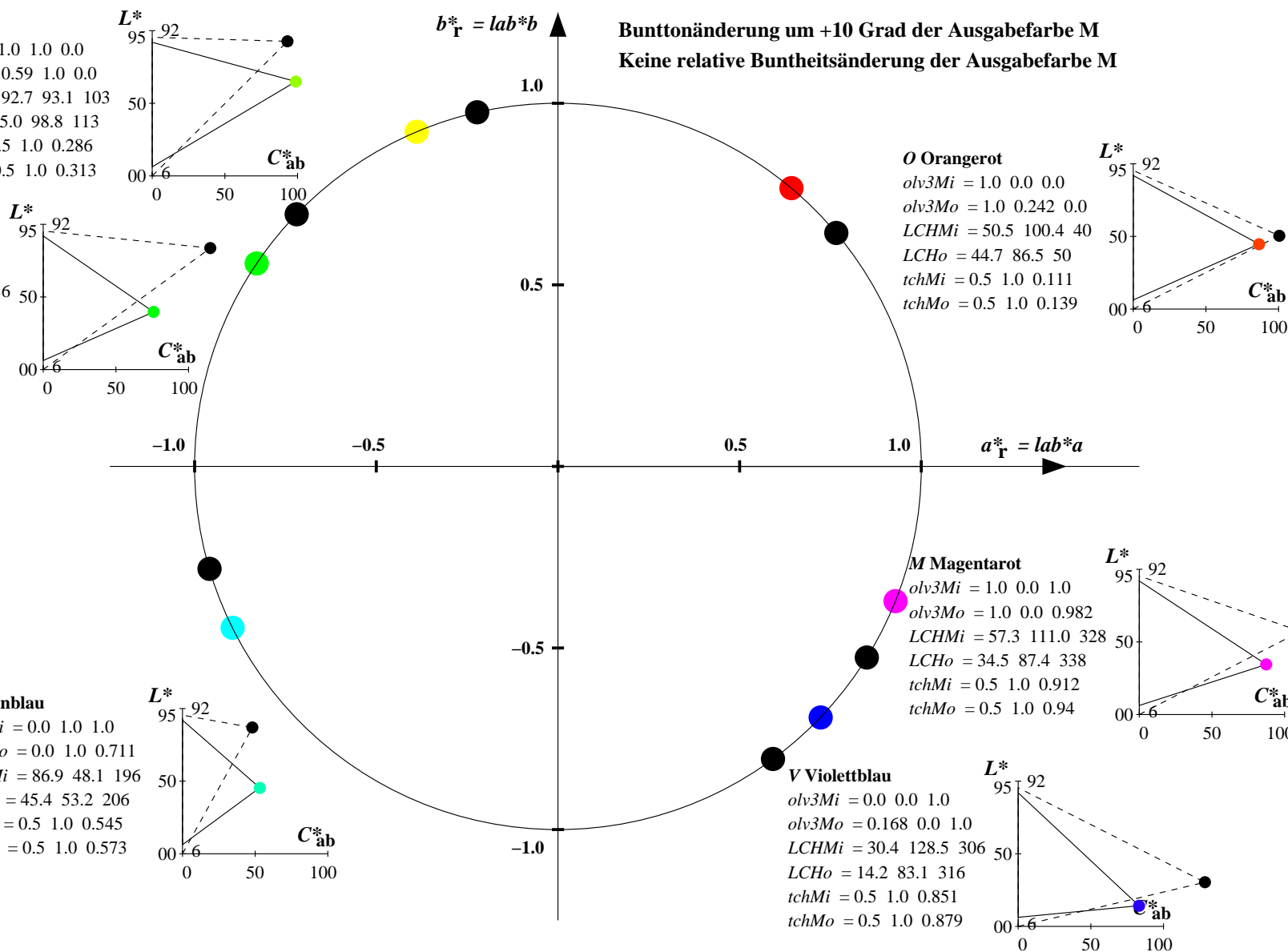
M Magentarot

olv3Mi = 1.0 0.0 1.0
olv3Mo = 1.0 0.0 0.982
LCHMi = 57.3 111.0 328
LCHo = 34.5 87.4 338
tchMi = 0.5 1.0 0.912
tchMo = 0.5 1.0 0.94

V Violettblau

olv3Mi = 0.0 0.0 1.0
olv3Mo = 0.168 0.0 1.0
LCHMi = 30.4 128.5 306
LCHo = 14.2 83.1 316
tchMi = 0.5 1.0 0.851
tchMo = 0.5 1.0 0.879

Bunttonänderung um +10 Grad der Ausgabefarbe M
Keine relative Buntheitsänderung der Ausgabefarbe M



Siehe ähnliche Dateien: <http://www.ps.bam.de/YG61/>
Technische Information: <http://www.ps.bam.de> Version 2.1, io=1,1

BAM-Registrierung: 20061101-YG61/10L/L61G10NP.PS/.PDF BAM-Material: Code=rh4ta
Anwendung für Beurteilung und Messung von Drucker- oder Monitorssystemen
/YG61/ Form: 1/8, Serie: 1/1, Seite: 11
Seite 11

Relatives CIELAB-Buntheitsdiagramm: ($a^*_r = lab^*a$, $b^*_r = lab^*b$) und **absolutes CIELAB Bunttondreiecks-Diagramm:** (L^* , C^*_{ab}) für Ein- (---) und Ausgabe (----) TLS00: Eingabe (i) Farbmatrik-Sytem; Sechs Bunttonwinkel des Farbgerätes: (40.0, 102.8, 136.0, 196.4, 306.3, 328.2); Vier Bunttonwinkel der Elementarfarben: (25.5, 92.3, 162.2, 271.7) FRS06: Ausgabe (o) Farbmatrik-Sytem; Sechs Bunttonwinkel des Farbgerätes: (36.7, 91.6, 143.4, 232.0, 312.1, 337.2); Vier Bunttonwinkel der Elementarfarben: (27.4, 91.9, 157.6, 273.4)

Y Gelb

olv3Mi = 1.0 1.0 0.0
olv3Mo = 0.641 0.75 0.25
LCHMi = 92.7 93.1 103
LCHo = 59.7 53.0 103
tchMi = 0.5 1.0 0.286
tchMo = 0.5 0.5 0.286

L Laubgrün

olv3Mi = 0.0 1.0 0.0
olv3Mo = 0.322 0.75 0.25
LCHMi = 83.6 115.0 136
LCHo = 45.8 41.1 136
tchMi = 0.5 1.0 0.378
tchMo = 0.5 0.5 0.378

C Cyanblau

olv3Mi = 0.0 1.0 1.0
olv3Mo = 0.25 0.75 0.549
LCHMi = 86.9 48.1 196
LCHo = 45.2 28.5 196
tchMi = 0.5 1.0 0.545
tchMo = 0.5 0.5 0.545

O Orangerot

olv3Mi = 1.0 0.0 0.0
olv3Mo = 0.75 0.28 0.25
LCHMi = 50.5 100.4 40
LCHo = 40.8 40.0 40
tchMi = 0.5 1.0 0.111
tchMo = 0.5 0.5 0.111

M Magentarot

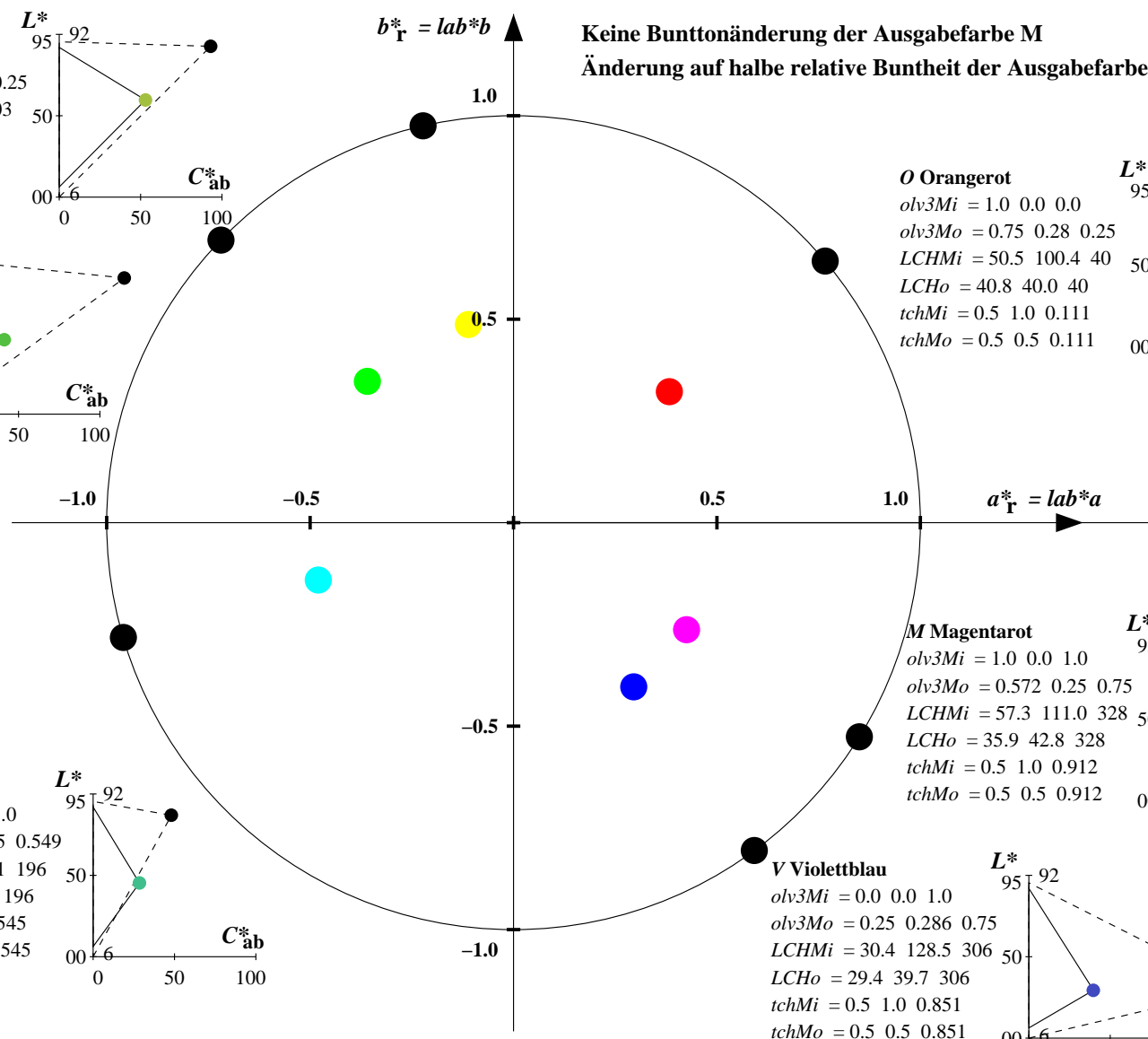
olv3Mi = 1.0 0.0 1.0
olv3Mo = 0.572 0.25 0.75
LCHMi = 57.3 111.0 328
LCHo = 35.9 42.8 328
tchMi = 0.5 1.0 0.912
tchMo = 0.5 0.5 0.912

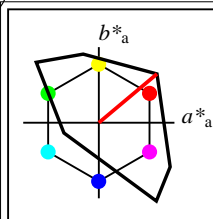
V Violettblau

olv3Mi = 0.0 0.0 1.0
olv3Mo = 0.25 0.286 0.75
LCHMi = 30.4 128.5 306
LCHo = 29.4 39.7 306
tchMi = 0.5 1.0 0.851
tchMo = 0.5 0.5 0.851

Keine Bunttonänderung der Ausgabefarbe M

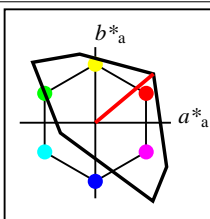
Änderung auf halbe relative Buntheit der Ausgabefarbe M





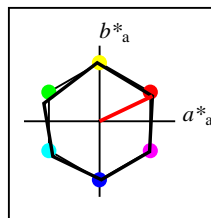
%Umfang
 $u^*_{rel} = 158$
%Regularität
 $g^*_{H,rel} = 20$
 $g^*_{C,rel} = 37$

TLS00	$L^*=L^*_a$	a^*_a	b^*_a	$C^*_{ab,a}$	$h^*_{ab,a}$
O _M	50.5	76.92	64.55	100.42	40
Y _M	92.66	-20.69	90.75	93.08	103
L _M	83.63	-82.75	79.9	115.04	136
C _M	86.88	-46.16	-13.55	48.12	196
V _M	30.39	76.06	-103.59	128.52	306
M _M	57.3	94.35	-58.41	110.97	328
N _M	0.01	0.0	0.0	0.0	0
W _M	95.41	0.0	0.0	0.0	0
R _{CIE}	39.92	58.74	27.99	65.07	25
J _{CIE}	81.26	-2.88	71.56	71.62	92
G _{CIE}	52.23	-42.41	13.6	44.55	162
B _{CIE}	30.57	1.41	-46.46	46.49	272



%Umfang
 $u^*_{rel} = 158$
%Regularität
 $g^*_{H,rel} = 20$
 $g^*_{C,rel} = 37$

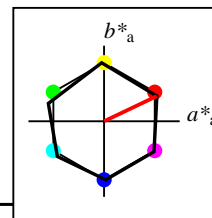
TLS00a; adaptierte CIELAB-Daten	$L^*=L^*_a$	a^*_a	b^*_a	$C^*_{ab,a}$	$h^*_{ab,a}$
O _{Ma}	50.5	76.92	64.55	100.42	40
Y _{Ma}	92.66	-20.69	90.75	93.08	103
L _{Ma}	83.63	-82.75	79.9	115.04	136
C _{Ma}	86.88	-46.16	-13.55	48.12	196
V _{Ma}	30.39	76.06	-103.59	128.52	306
M _{Ma}	57.3	94.35	-58.41	110.97	328
N _{Ma}	0.01	0.0	0.0	0.0	0
W _{Ma}	95.41	0.0	0.0	0.0	0
R _{CIE}	39.92	58.74	27.99	65.07	25
J _{CIE}	81.26	-2.88	71.56	71.62	92
G _{CIE}	52.23	-42.41	13.6	44.55	162
B _{CIE}	30.57	1.41	-46.46	46.49	272



%Umfang
 $u^*_{rel} = 100$
%Regularität
 $g^*_{H,rel} = 78$
 $g^*_{C,rel} = 100$

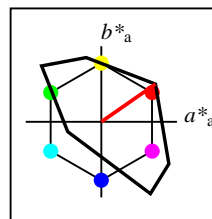
NRS18a; adaptierte CIELAB-Daten	$L^*=L^*_a$	a^*_a	b^*_a	$C^*_{ab,a}$	$h^*_{ab,a}$
O _{Ma}	56.71	69.87	33.29	77.4	25
Y _{Ma}	56.71	-3.1	77.34	77.4	92
L _{Ma}	56.71	-73.68	23.63	77.39	162
C _{Ma}	56.71	-61.81	-46.54	77.39	217
V _{Ma}	56.71	2.35	-77.34	77.39	272
M _{Ma}	56.71	66.07	-40.3	77.4	329
N _{Ma}	18.01	0.0	0.0	0.0	0
W _{Ma}	95.41	0.0	0.0	0.0	0
R _{CIE}	39.92	58.74	27.99	65.07	25
J _{CIE}	81.26	-2.88	71.56	71.62	92
G _{CIE}	52.23	-42.41	13.6	44.55	162
B _{CIE}	30.57	1.41	-46.46	46.49	272

Workflow-Wahlen
für Farbmuster:
1. keine Farbänderung
2. Buntton-Änderung
3. Buntheits-Änderung



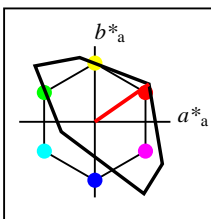
%Umfang
 $u^*_{rel} = 100$
%Regularität
 $g^*_{H,rel} = 78$
 $g^*_{C,rel} = 100$

NRS18a; adaptierte CIELAB-Daten	$L^*=L^*_a$	a^*_a	b^*_a	$C^*_{ab,a}$	$h^*_{ab,a}$
O _{Ma}	56.71	69.87	33.29	77.4	25
Y _{Ma}	56.71	-3.1	77.34	77.4	92
L _{Ma}	56.71	-73.68	23.63	77.39	162
C _{Ma}	56.71	-61.81	-46.54	77.39	217
V _{Ma}	56.71	2.35	-77.34	77.39	272
M _{Ma}	56.71	66.07	-40.3	77.4	329
N _{Ma}	18.01	0.0	0.0	0.0	0
W _{Ma}	95.41	0.0	0.0	0.0	0
R _{CIE}	39.92	58.74	27.99	65.07	25
J _{CIE}	81.26	-2.88	71.56	71.62	92
G _{CIE}	52.23	-42.41	13.6	44.55	162
B _{CIE}	30.57	1.41	-46.46	46.49	272



%Umfang
 $u^*_{rel} = 118$
%Regularität
 $g^*_{H,rel} = 22$
 $g^*_{C,rel} = 40$

TLS18a; adaptierte CIELAB-Daten	$L^*=L^*_a$	a^*_a	b^*_a	$C^*_{ab,a}$	$h^*_{ab,a}$
O _{Ma}	52.76	71.63	49.88	87.29	35
Y _{Ma}	92.74	-20.02	84.97	87.3	103
L _{Ma}	84.0	-78.98	73.94	108.2	137
C _{Ma}	87.14	-44.41	-13.11	46.32	196
V _{Ma}	35.47	64.92	-95.06	115.12	304
M _{Ma}	59.01	89.33	-55.67	105.26	328
N _{Ma}	18.01	0.0	0.0	0.0	0
W _{Ma}	95.41	0.0	0.0	0.0	0
R _{CIE}	39.92	58.74	27.99	65.07	25
J _{CIE}	81.26	-2.88	71.56	71.62	92
G _{CIE}	52.23	-42.41	13.6	44.55	162
B _{CIE}	30.57	1.41	-46.46	46.49	272



%Umfang
 $u^*_{rel} = 118$
%Regularität
 $g^*_{H,rel} = 22$
 $g^*_{C,rel} = 40$

TLS18	$L^*=L^*_a$	a^*_a	b^*_a	$C^*_{ab,a}$	$h^*_{ab,a}$
O _M	52.76	71.63	49.88	87.29	35
Y _M	92.74	-20.02	84.97	87.3	103
L _M	84.0	-78.98	73.94	108.2	137
C _M	87.14	-44.41	-13.11	46.32	196
V _M	35.47	64.92	-95.06	115.12	304
M _M	59.01	89.33	-55.67	105.26	328
N _M	18.01	0.0	0.0	0.0	0
W _M	95.41	0.0	0.0	0.0	0
R _{CIE}	39.92	58.74	27.99	65.07	25
J _{CIE}	81.26	-2.88	71.56	71.62	92
G _{CIE}	52.23	-42.41	13.6	44.55	162
B _{CIE}	30.57	1.41	-46.46	46.49	272

Relatives CIELAB-Buntheitsdiagramm: ($a_R^* = lab^*a$, $b_R^* = lab^*b$) und absolutes CIELAB Bunttondreiecks-Diagramm: (L^* , C_{ab}^*) für Ein- (---) und Ausgabe (----) TLS00: Eingabe (i) Farbmatrik-Sytem; Sechs Bunttonwinkel des Farbgerätes: (40.0, 102.8, 136.0, 196.4, 306.3, 328.2); Vier Bunttonwinkel der Elementarfarben: (25.5, 92.3, 162.2, 271.7) TLS18: Ausgabe (o) Farbmatrik-Sytem; Sechs Bunttonwinkel des Farbgerätes: (34.9, 103.3, 136.9, 196.5, 304.3, 328.1); Vier Bunttonwinkel der Elementarfarben: (25.5, 92.3, 162.2, 271.7)

Y Gelb

olv3Mi = 1.0 1.0 0.0
olv3Mo = 1.0 0.994 0.0
LCHMi = 92.7 93.1 103
LCHo = 92.5 87.3 103
tchMi = 0.5 1.0 0.286
tchMo = 0.5 1.0 0.286

L Laubgrün

olv3Mi = 0.0 1.0 0.0
olv3Mo = 0.026 1.0 0.0
LCHMi = 83.6 115.0 136
LCHo = 84.2 107.6 136
tchMi = 0.5 1.0 0.378
tchMo = 0.5 1.0 0.378

C Cyanblau

olv3Mi = 0.0 1.0 1.0
olv3Mo = 0.0 1.0 0.999
LCHMi = 86.9 48.1 196
LCHo = 87.1 46.4 196
tchMi = 0.5 1.0 0.545
tchMo = 0.5 1.0 0.545

O Orangerot

olv3Mi = 1.0 0.0 0.0
olv3Mo = 1.0 0.075 0.0
LCHMi = 50.5 100.4 40
LCHo = 55.8 87.3 40
tchMi = 0.5 1.0 0.111
tchMo = 0.5 1.0 0.111

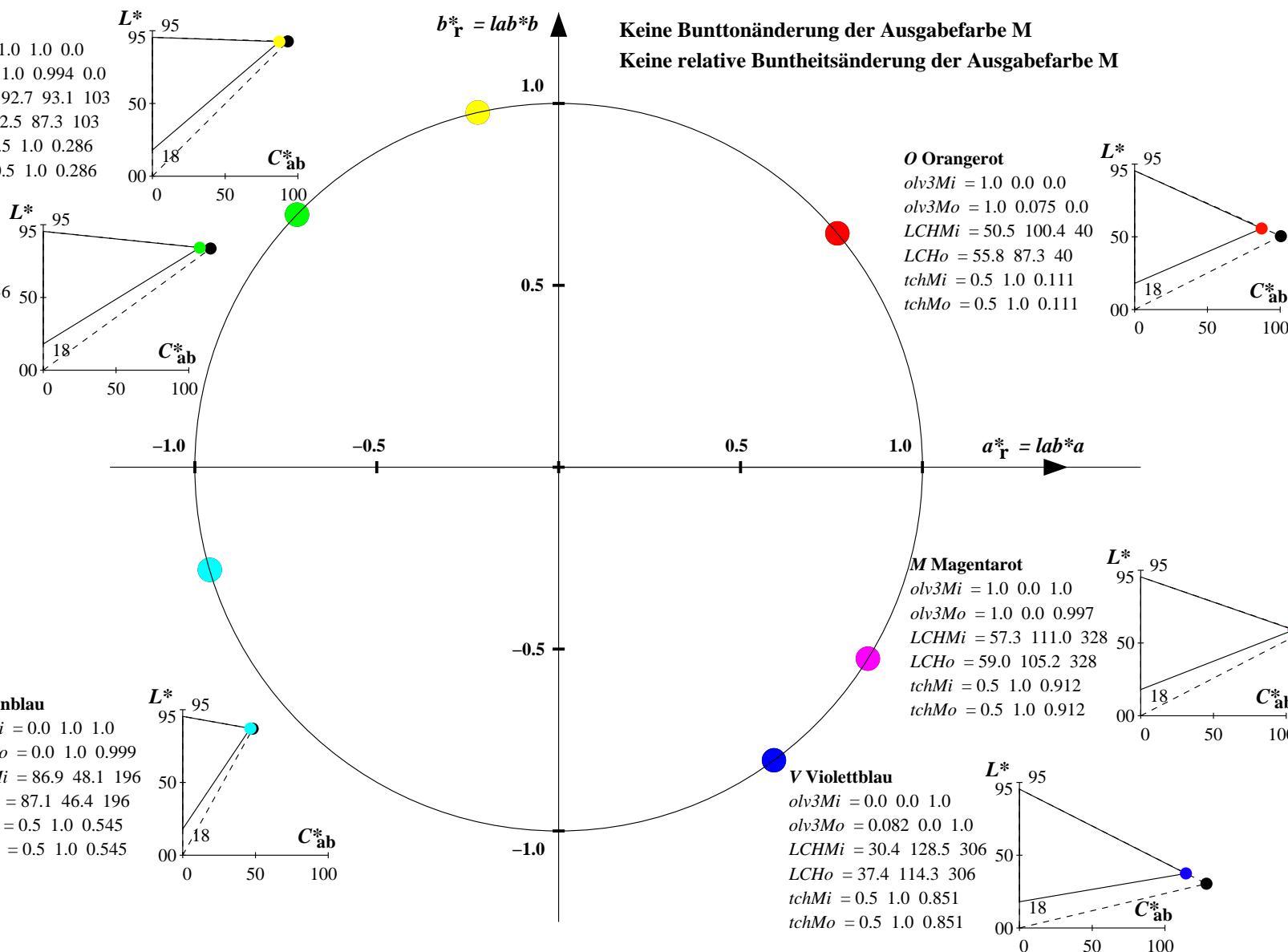
M Magentarot

olv3Mi = 1.0 0.0 1.0
olv3Mo = 1.0 0.0 0.997
LCHMi = 57.3 111.0 328
LCHo = 59.0 105.2 328
tchMi = 0.5 1.0 0.912
tchMo = 0.5 1.0 0.912

V Violettblau

olv3Mi = 0.0 0.0 1.0
olv3Mo = 0.082 0.0 1.0
LCHMi = 30.4 128.5 306
LCHo = 37.4 114.3 306
tchMi = 0.5 1.0 0.851
tchMo = 0.5 1.0 0.851

Keine Bunttonänderung der Ausgabefarbe M
Keine relative Buntheitsänderung der Ausgabefarbe M



Relatives CIELAB-Buntheitsdiagramm: ($a_R^* = lab^*a$, $b_R^* = lab^*b$) und absolutes CIELAB Bunttondreiecks-Diagramm: (L^* , C_{ab}^*) für Ein- (---) und Ausgabe (----) TLS00: Eingabe (i) Farbmatrik-Sytem; Sechs Bunttonwinkel des Farbgerätes: (40.0, 102.8, 136.0, 196.4, 306.3, 328.2); Vier Bunttonwinkel der Elementarfarben: (25.5, 92.3, 162.2, 271.7) TLS18: Ausgabe (o) Farbmatrik-Sytem; Sechs Bunttonwinkel des Farbgerätes: (34.9, 103.3, 136.9, 196.5, 304.3, 328.1); Vier Bunttonwinkel der Elementarfarben: (25.5, 92.3, 162.2, 271.7)

Y Gelb

olv3Mi = 1.0 1.0 0.0
olv3Mo = 0.715 1.0 0.0
LCHMi = 92.7 93.1 103
LCHo = 90.2 93.3 113
tchMi = 0.5 1.0 0.286
tchMo = 0.5 1.0 0.313

L Laubgrün

olv3Mi = 0.0 1.0 0.0
olv3Mo = 0.0 1.0 0.153
LCHMi = 83.6 115.0 136
LCHo = 84.5 98.7 146
tchMi = 0.5 1.0 0.378
tchMo = 0.5 1.0 0.406

C Cyanblau

olv3Mi = 0.0 1.0 1.0
olv3Mo = 0.0 0.908 1.0
LCHMi = 86.9 48.1 196
LCHo = 82.4 52.6 206
tchMi = 0.5 1.0 0.545
tchMo = 0.5 1.0 0.573

O Orangerot

olv3Mi = 1.0 0.0 0.0
olv3Mo = 1.0 0.222 0.0
LCHMi = 50.5 100.4 40
LCHo = 61.6 87.3 50
tchMi = 0.5 1.0 0.111
tchMo = 0.5 1.0 0.139

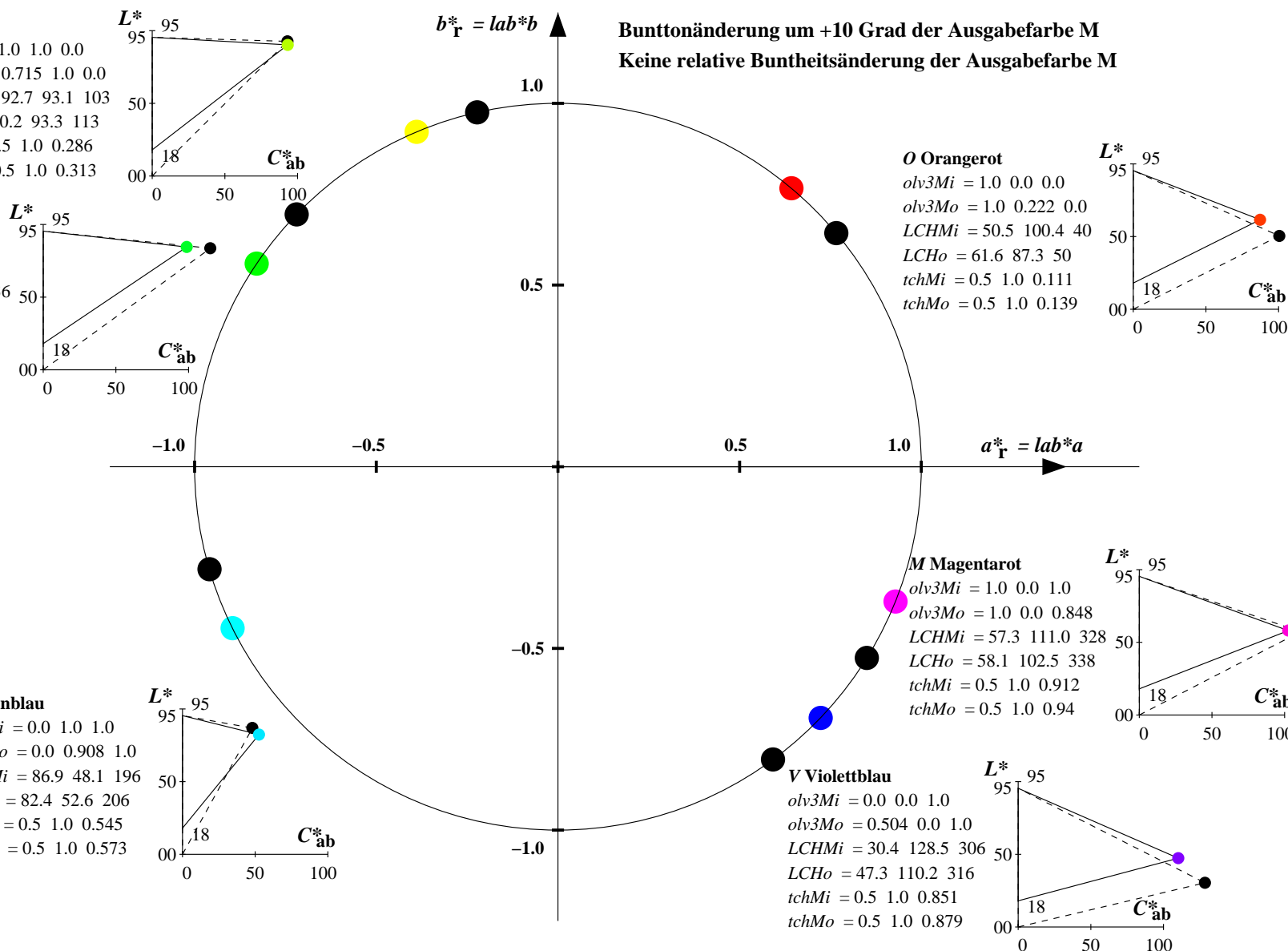
M Magentarot

olv3Mi = 1.0 0.0 1.0
olv3Mo = 1.0 0.0 0.848
LCHMi = 57.3 111.0 328
LCHo = 58.1 102.5 338
tchMi = 0.5 1.0 0.912
tchMo = 0.5 1.0 0.94

V Violettblau

olv3Mi = 0.0 0.0 1.0
olv3Mo = 0.504 0.0 1.0
LCHMi = 30.4 128.5 306
LCHo = 47.3 110.2 316
tchMi = 0.5 1.0 0.851
tchMo = 0.5 1.0 0.879

Bunttonänderung um +10 Grad der Ausgabefarbe M
Keine relative Buntheitsänderung der Ausgabefarbe M



Relatives CIELAB-Buntheitsdiagramm: ($a^*_r = lab^*a$, $b^*_r = lab^*b$) und **absolutes CIELAB Bunttondreiecks-Diagramm:** (L^* , C^*_{ab}) für Ein- (---) und Ausgabe (----) TLS00: Eingabe (i) Farbmatrik-Sytem; Sechs Bunttonwinkel des Farbgerätes: (40.0, 102.8, 136.0, 196.4, 306.3, 328.2); Vier Bunttonwinkel der Elementarfarben: (25.5, 92.3, 162.2, 271.7)
TLS18: Ausgabe (o) Farbmatrik-Sytem; Sechs Bunttonwinkel des Farbgerätes: (34.9, 103.3, 136.9, 196.5, 304.3, 328.1); Vier Bunttonwinkel der Elementarfarben: (25.5, 92.3, 162.2, 271.7)

Y Gelb

$olv3Mi = 1.0 \ 1.0 \ 0.0$
 $olv3Mo = 0.75 \ 0.747 \ 0.25$
 $LCHMi = 92.7 \ 93.1 \ 103$
 $LCHo = 70.1 \ 43.6 \ 103$
 $tchMi = 0.5 \ 1.0 \ 0.286$
 $tchMo = 0.5 \ 0.5 \ 0.286$

L Laubgrün

$olv3Mi = 0.0 \ 1.0 \ 0.0$
 $olv3Mo = 0.263 \ 0.75 \ 0.25$
 $LCHMi = 83.6 \ 115.0 \ 136$
 $LCHo = 66.0 \ 53.8 \ 136$
 $tchMi = 0.5 \ 1.0 \ 0.378$
 $tchMo = 0.5 \ 0.5 \ 0.378$

C Cyanblau

$olv3Mi = 0.0 \ 1.0 \ 1.0$
 $olv3Mo = 0.25 \ 0.75 \ 0.749$
 $LCHMi = 86.9 \ 48.1 \ 196$
 $LCHo = 67.4 \ 23.2 \ 196$
 $tchMi = 0.5 \ 1.0 \ 0.545$
 $tchMo = 0.5 \ 0.5 \ 0.545$

O Orangerot

$olv3Mi = 1.0 \ 0.0 \ 0.0$
 $olv3Mo = 0.75 \ 0.288 \ 0.25$
 $LCHMi = 50.5 \ 100.4 \ 40$
 $LCHo = 51.7 \ 43.6 \ 40$
 $tchMi = 0.5 \ 1.0 \ 0.111$
 $tchMo = 0.5 \ 0.5 \ 0.111$

M Magentarot

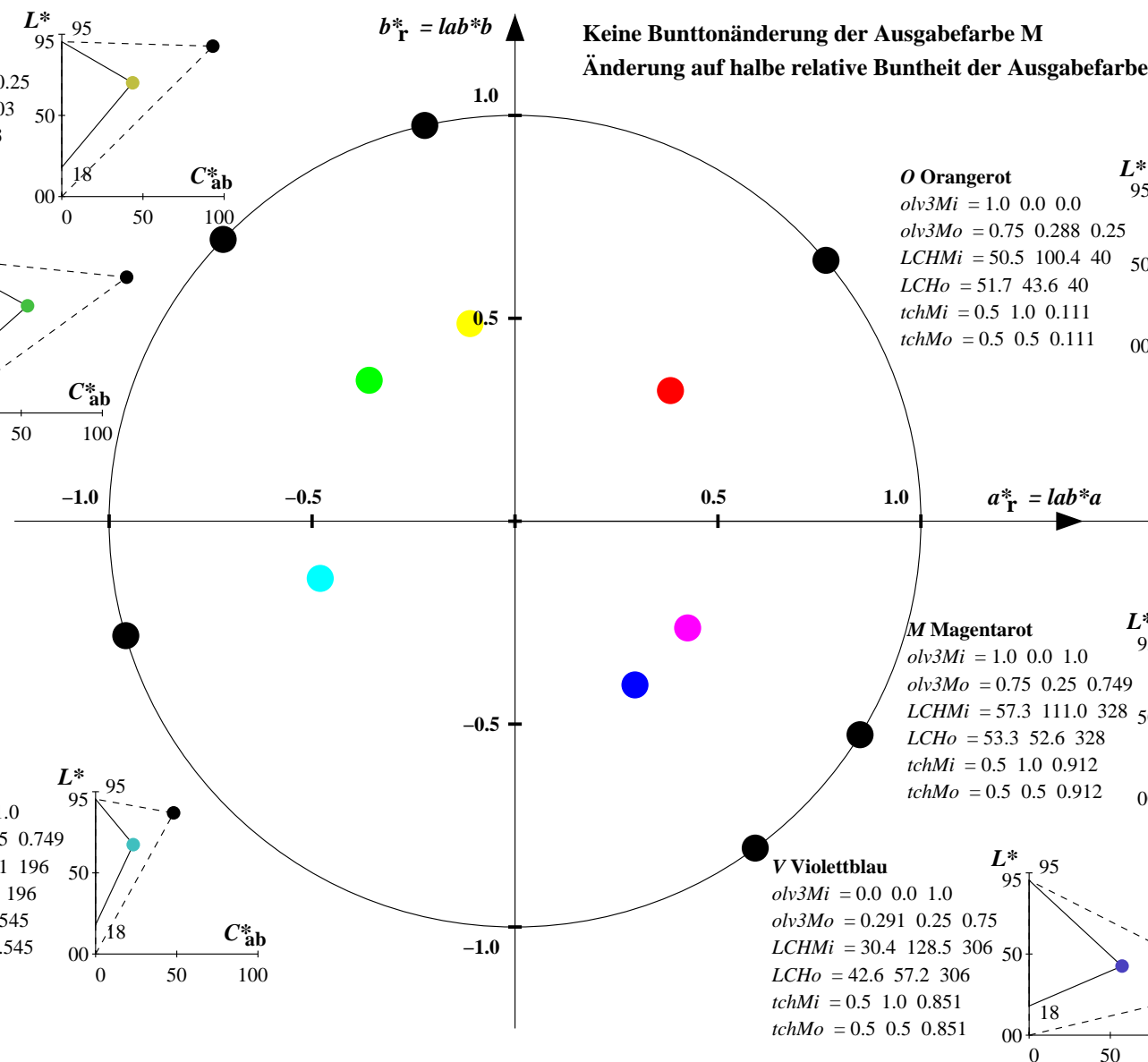
$olv3Mi = 1.0 \ 0.0 \ 1.0$
 $olv3Mo = 0.75 \ 0.25 \ 0.749$
 $LCHMi = 57.3 \ 111.0 \ 328$
 $LCHo = 53.3 \ 52.6 \ 328$
 $tchMi = 0.5 \ 1.0 \ 0.912$
 $tchMo = 0.5 \ 0.5 \ 0.912$

V Violettblau

$olv3Mi = 0.0 \ 0.0 \ 1.0$
 $olv3Mo = 0.291 \ 0.25 \ 0.75$
 $LCHMi = 30.4 \ 128.5 \ 306$
 $LCHo = 42.6 \ 57.2 \ 306$
 $tchMi = 0.5 \ 1.0 \ 0.851$
 $tchMo = 0.5 \ 0.5 \ 0.851$

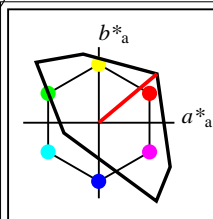
Keine Bunttonänderung der Ausgabefarbe M

Änderung auf halbe relative Buntheit der Ausgabefarbe M



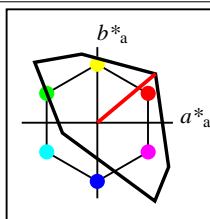
Siehe ähnliche Dateien: <http://www.ps.bam.de/YG61/>
Technische Information: <http://www.ps.bam.de> Version 2.1, io=1,1

BAM-Registrierung: 20061101-YG61/10L/L61G10NP.PS/.PDF BAM-Material: Code=rh4ta
Anwendung für Beurteilung und Messung von Drucker- oder Monitorsystemen
/YG61/ Form: 168, Serie: 1/1, Seite: 16 Seite 16/32



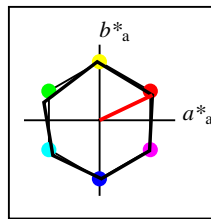
%Umfang
 $u^*_{rel} = 158$
%Regularität
 $g^*_{H,rel} = 20$
 $g^*_{C,rel} = 37$

TLS00	$L^*=L^*_a$	a^*_a	b^*_a	$C^*_{ab,a}$	$h^*_{ab,a}$
O _M	50.5	76.92	64.55	100.42	40
Y _M	92.66	-20.69	90.75	93.08	103
L _M	83.63	-82.75	79.9	115.04	136
C _M	86.88	-46.16	-13.55	48.12	196
V _M	30.39	76.06	-103.59	128.52	306
M _M	57.3	94.35	-58.41	110.97	328
N _M	0.01	0.0	0.0	0.0	0
W _M	95.41	0.0	0.0	0.0	0
R _{CIE}	39.92	58.74	27.99	65.07	25
J _{CIE}	81.26	-2.88	71.56	71.62	92
G _{CIE}	52.23	-42.41	13.6	44.55	162
B _{CIE}	30.57	1.41	-46.46	46.49	272



%Umfang
 $u^*_{rel} = 158$
%Regularität
 $g^*_{H,rel} = 20$
 $g^*_{C,rel} = 37$

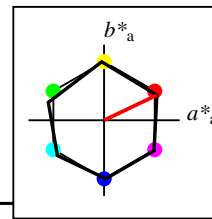
TLS00a; adaptierte CIELAB-Daten	$L^*=L^*_a$	a^*_a	b^*_a	$C^*_{ab,a}$	$h^*_{ab,a}$
O _{Ma}	50.5	76.92	64.55	100.42	40
Y _{Ma}	92.66	-20.69	90.75	93.08	103
L _{Ma}	83.63	-82.75	79.9	115.04	136
C _{Ma}	86.88	-46.16	-13.55	48.12	196
V _{Ma}	30.39	76.06	-103.59	128.52	306
M _{Ma}	57.3	94.35	-58.41	110.97	328
N _{Ma}	0.01	0.0	0.0	0.0	0
W _{Ma}	95.41	0.0	0.0	0.0	0
R _{CIE}	39.92	58.74	27.99	65.07	25
J _{CIE}	81.26	-2.88	71.56	71.62	92
G _{CIE}	52.23	-42.41	13.6	44.55	162
B _{CIE}	30.57	1.41	-46.46	46.49	272



%Umfang
 $u^*_{rel} = 100$
%Regularität
 $g^*_{H,rel} = 78$
 $g^*_{C,rel} = 100$

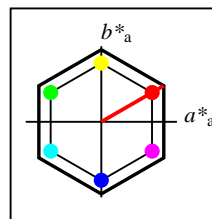
NRS18a; adaptierte CIELAB-Daten	$L^*=L^*_a$	a^*_a	b^*_a	$C^*_{ab,a}$	$h^*_{ab,a}$
O _{Ma}	56.71	69.87	33.29	77.4	25
Y _{Ma}	56.71	-3.1	77.34	77.4	92
L _{Ma}	56.71	-73.68	23.63	77.39	162
C _{Ma}	56.71	-61.81	-46.54	77.39	217
V _{Ma}	56.71	2.35	-77.34	77.39	272
M _{Ma}	56.71	66.07	-40.3	77.4	329
N _{Ma}	18.01	0.0	0.0	0.0	0
W _{Ma}	95.41	0.0	0.0	0.0	0
R _{CIE}	39.92	58.74	27.99	65.07	25
J _{CIE}	81.26	-2.88	71.56	71.62	92
G _{CIE}	52.23	-42.41	13.6	44.55	162
B _{CIE}	30.57	1.41	-46.46	46.49	272

Workflow-Wahlen
für Farbmuster:
1. keine Farbänderung
2. Buntton-Änderung
3. Buntheits-Änderung



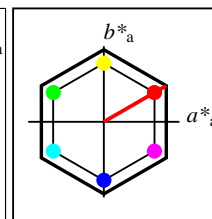
%Umfang
 $u^*_{rel} = 100$
%Regularität
 $g^*_{H,rel} = 78$
 $g^*_{C,rel} = 100$

NRS18a; adaptierte CIELAB-Daten	$L^*=L^*_a$	a^*_a	b^*_a	$C^*_{ab,a}$	$h^*_{ab,a}$
O _{Ma}	56.71	69.87	33.29	77.4	25
Y _{Ma}	56.71	-3.1	77.34	77.4	92
L _{Ma}	56.71	-73.68	23.63	77.39	162
C _{Ma}	56.71	-61.81	-46.54	77.39	217
V _{Ma}	56.71	2.35	-77.34	77.39	272
M _{Ma}	56.71	66.07	-40.3	77.4	329
N _{Ma}	18.01	0.0	0.0	0.0	0
W _{Ma}	95.41	0.0	0.0	0.0	0
R _{CIE}	39.92	58.74	27.99	65.07	25
J _{CIE}	81.26	-2.88	71.56	71.62	92
G _{CIE}	52.23	-42.41	13.6	44.55	162
B _{CIE}	30.57	1.41	-46.46	46.49	272



%Umfang
 $u^*_{rel} = 152$
%Regularität
 $g^*_{H,rel} = 100$
 $g^*_{C,rel} = 100$

NLS00a; adaptierte CIELAB-Daten	$L^*=L^*_a$	a^*_a	b^*_a	$C^*_{ab,a}$	$h^*_{ab,a}$
O _{Ma}	31.81	82.62	47.7	95.4	30
Y _{Ma}	63.61	0.0	95.4	95.4	90
L _{Ma}	31.81	-82.61	47.7	95.4	150
C _{Ma}	63.61	-82.61	-47.69	95.4	210
V _{Ma}	31.81	0.0	-95.39	95.4	270
M _{Ma}	63.61	82.62	-47.69	95.4	330
N _{Ma}	0.01	0.0	0.0	0.0	0
W _{Ma}	95.41	0.0	0.0	0.0	0
R _{CIE}	39.92	58.74	27.99	65.07	25
J _{CIE}	81.26	-2.88	71.56	71.62	92
G _{CIE}	52.23	-42.41	13.6	44.55	162
B _{CIE}	30.57	1.41	-46.46	46.49	272



%Umfang
 $u^*_{rel} = 152$
%Regularität
 $g^*_{H,rel} = 100$
 $g^*_{C,rel} = 100$

NLS00	$L^*=L^*_a$	a^*_a	b^*_a	$C^*_{ab,a}$	$h^*_{ab,a}$
O _M	31.81	82.62	47.7	95.4	30
Y _M	63.61	0.0	95.4	95.4	90
L _M	31.81	-82.61	47.7	95.4	150
C _M	63.61	-82.61	-47.69	95.4	210
V _M	31.81	0.0	-95.39	95.4	270
M _M	63.61	82.62	-47.69	95.4	330
N _M	0.01	0.0	0.0	0.0	0
W _M	95.41	0.0	0.0	0.0	0
R _{CIE}	39.92	58.74	27.99	65.07	25
J _{CIE}	81.26	-2.88	71.56	71.62	92
G _{CIE}	52.23	-42.41	13.6	44.55	162
B _{CIE}	30.57	1.41	-46.46	46.49	272

Relatives CIELAB-Buntheitsdiagramm: ($a_R^* = lab^*a$, $b_R^* = lab^*b$) und absolutes CIELAB Bunttondreiecks-Diagramm: (L^* , C_{ab}^*) für Ein- (---) und Ausgabe (----) TLS00: Eingabe (i) Farbmatrik-Sytem; Sechs Bunttonwinkel des Farbgerätes: (40.0, 102.8, 136.0, 196.4, 306.3, 328.2); Vier Bunttonwinkel der Elementarfarben: (25.5, 92.3, 162.2, 271.7) NLS00: Ausgabe (o) Farbmatrik-Sytem; Sechs Bunttonwinkel des Farbgerätes: (30.0, 90.0, 150.0, 210.0, 270.0, 330.0); Vier Bunttonwinkel der Elementarfarben: (25.5, 92.3, 162.2, 271.7)

Y Gelb

olv3Mi = 1.0 1.0 0.0
olv3Mo = 0.786 1.0 0.0
LCHMi = 92.7 93.1 103
LCHo = 56.8 95.4 103
tchMi = 0.5 1.0 0.286
tchMo = 0.5 1.0 0.286

L Laubgrün

olv3Mi = 0.0 1.0 0.0
olv3Mo = 0.233 1.0 0.0
LCHMi = 83.6 115.0 136
LCHo = 39.2 95.4 136
tchMi = 0.5 1.0 0.378
tchMo = 0.5 1.0 0.378

C Cyanblau

olv3Mi = 0.0 1.0 1.0
olv3Mo = 0.0 1.0 0.773
LCHMi = 86.9 48.1 196
LCHo = 56.4 95.4 196
tchMi = 0.5 1.0 0.545
tchMo = 0.5 1.0 0.545

O Orangerot

olv3Mi = 1.0 0.0 0.0
olv3Mo = 1.0 0.167 0.0
LCHMi = 50.5 100.4 40
LCHo = 37.1 95.4 40
tchMi = 0.5 1.0 0.111
tchMo = 0.5 1.0 0.111

M Magentarot

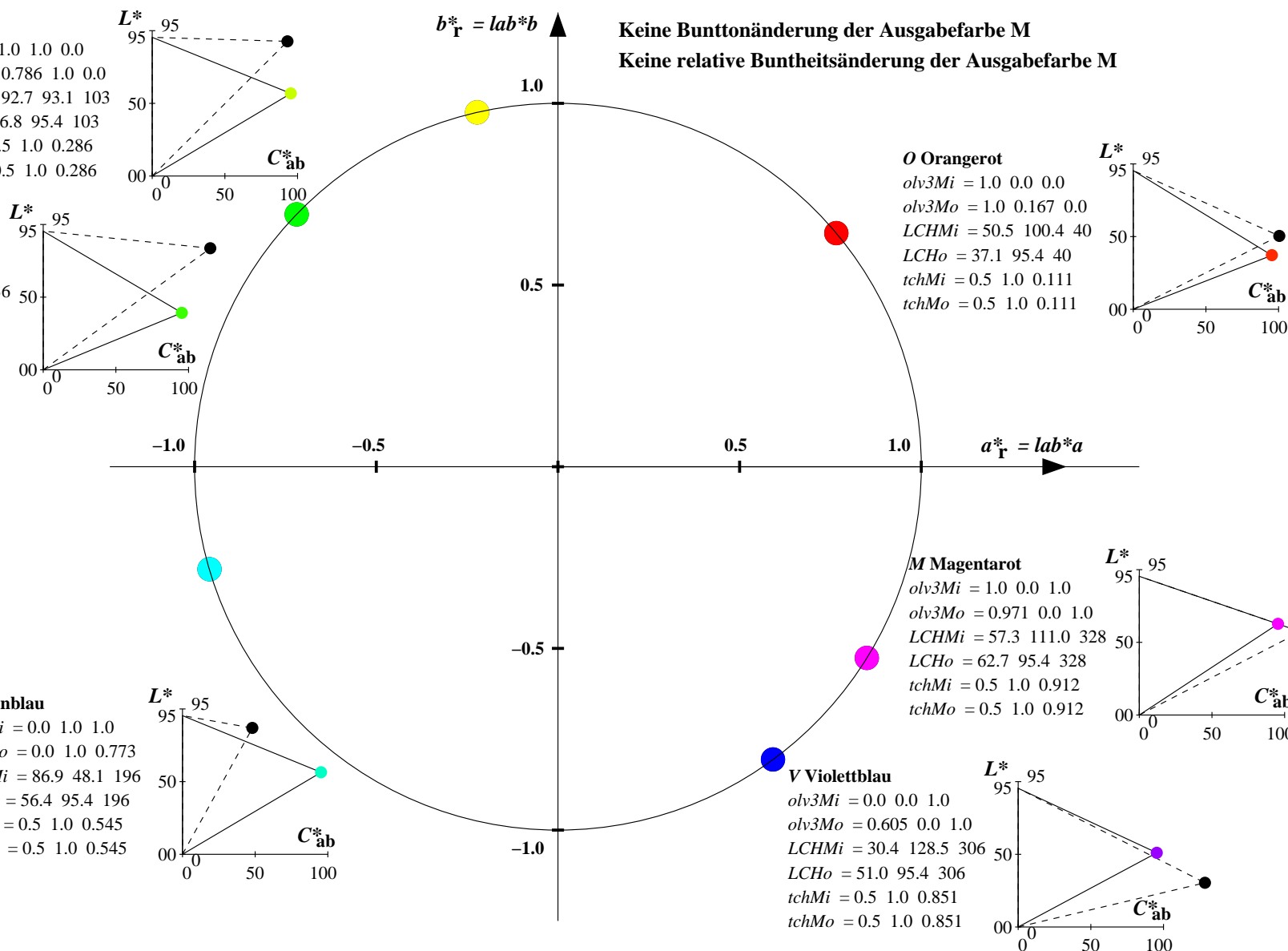
olv3Mi = 1.0 0.0 1.0
olv3Mo = 0.971 0.0 1.0
LCHMi = 57.3 111.0 328
LCHo = 62.7 95.4 328
tchMi = 0.5 1.0 0.912
tchMo = 0.5 1.0 0.912

V Violettblau

olv3Mi = 0.0 0.0 1.0
olv3Mo = 0.605 0.0 1.0
LCHMi = 30.4 128.5 306
LCHo = 51.0 95.4 306
tchMi = 0.5 1.0 0.851
tchMo = 0.5 1.0 0.851

Keine Bunttonänderung der Ausgabefarbe M

Keine relative Buntheitsänderung der Ausgabefarbe M



Relatives CIELAB-Buntheitsdiagramm: ($a_R^* = lab^*a$, $b_R^* = lab^*b$) und absolutes CIELAB Bunttondreiecks-Diagramm: (L^* , C_{ab}^*) für Ein- (---) und Ausgabe (----) TLS00: Eingabe (i) Farbmatrik-Sytem; Sechs Bunttonwinkel des Farbgerätes: (40.0, 102.8, 136.0, 196.4, 306.3, 328.2); Vier Bunttonwinkel der Elementarfarben: (25.5, 92.3, 162.2, 271.7) NLS00: Ausgabe (o) Farbmatrik-Sytem; Sechs Bunttonwinkel des Farbgerätes: (30.0, 90.0, 150.0, 210.0, 270.0, 330.0); Vier Bunttonwinkel der Elementarfarben: (25.5, 92.3, 162.2, 271.7)

Y Gelb

olv3Mi = 1.0 1.0 0.0
olv3Mo = 0.619 1.0 0.0
LCHMi = 92.7 93.1 103
LCHo = 51.5 95.4 113
tchMi = 0.5 1.0 0.286
tchMo = 0.5 1.0 0.313

L Laubgrün

olv3Mi = 0.0 1.0 0.0
olv3Mo = 0.066 1.0 0.0
LCHMi = 83.6 115.0 136
LCHo = 33.9 95.4 146
tchMi = 0.5 1.0 0.378
tchMo = 0.5 1.0 0.406

C Cyanblau

olv3Mi = 0.0 1.0 1.0
olv3Mo = 0.0 1.0 0.94
LCHMi = 86.9 48.1 196
LCHo = 61.7 95.4 206
tchMi = 0.5 1.0 0.545
tchMo = 0.5 1.0 0.573

O Orangerot

olv3Mi = 1.0 0.0 0.0
olv3Mo = 1.0 0.334 0.0
LCHMi = 50.5 100.4 40
LCHo = 42.4 95.4 50
tchMi = 0.5 1.0 0.111
tchMo = 0.5 1.0 0.139

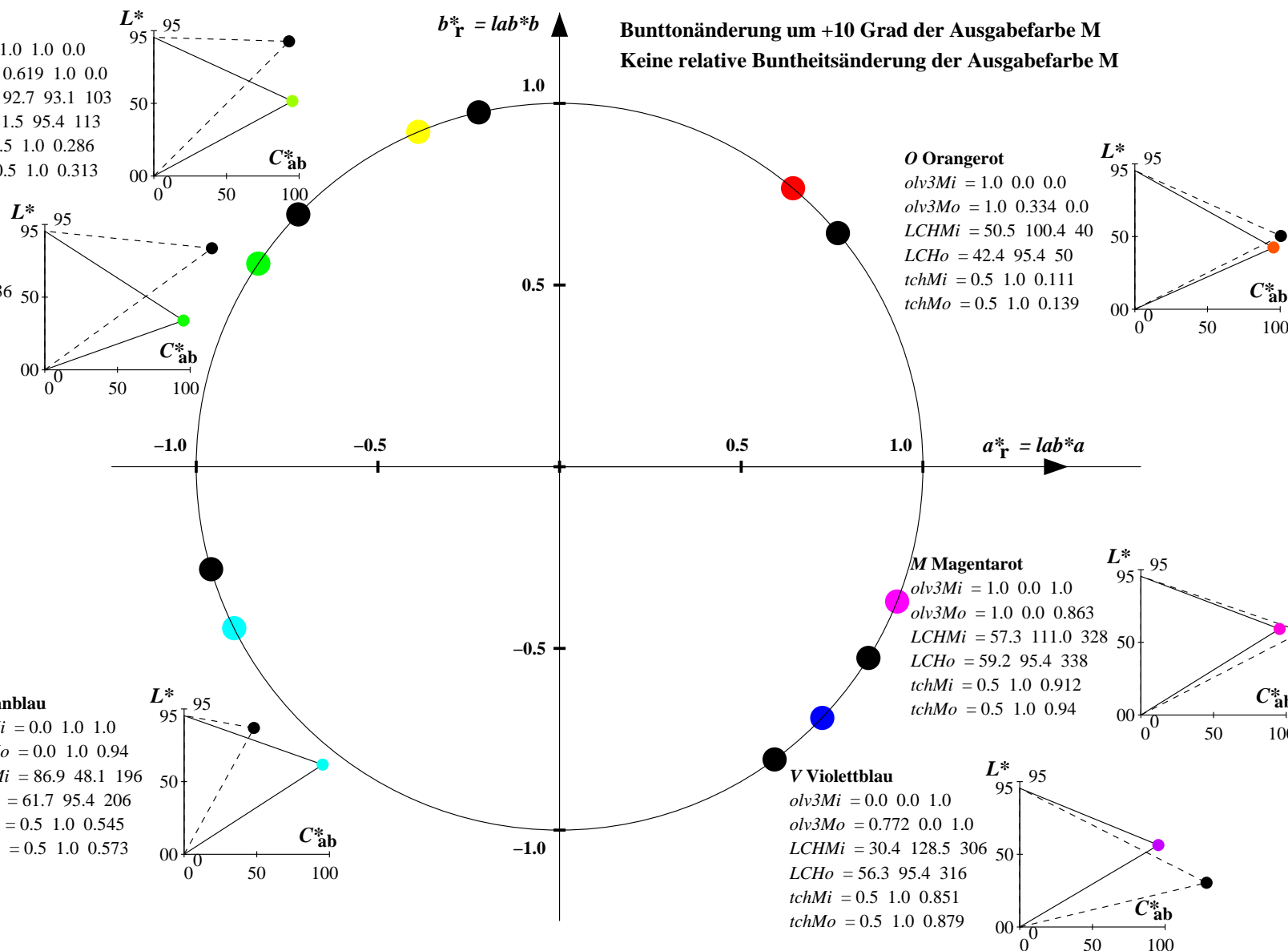
M Magentarot

olv3Mi = 1.0 0.0 1.0
olv3Mo = 1.0 0.0 0.863
LCHMi = 57.3 111.0 328
LCHo = 59.2 95.4 338
tchMi = 0.5 1.0 0.912
tchMo = 0.5 1.0 0.94

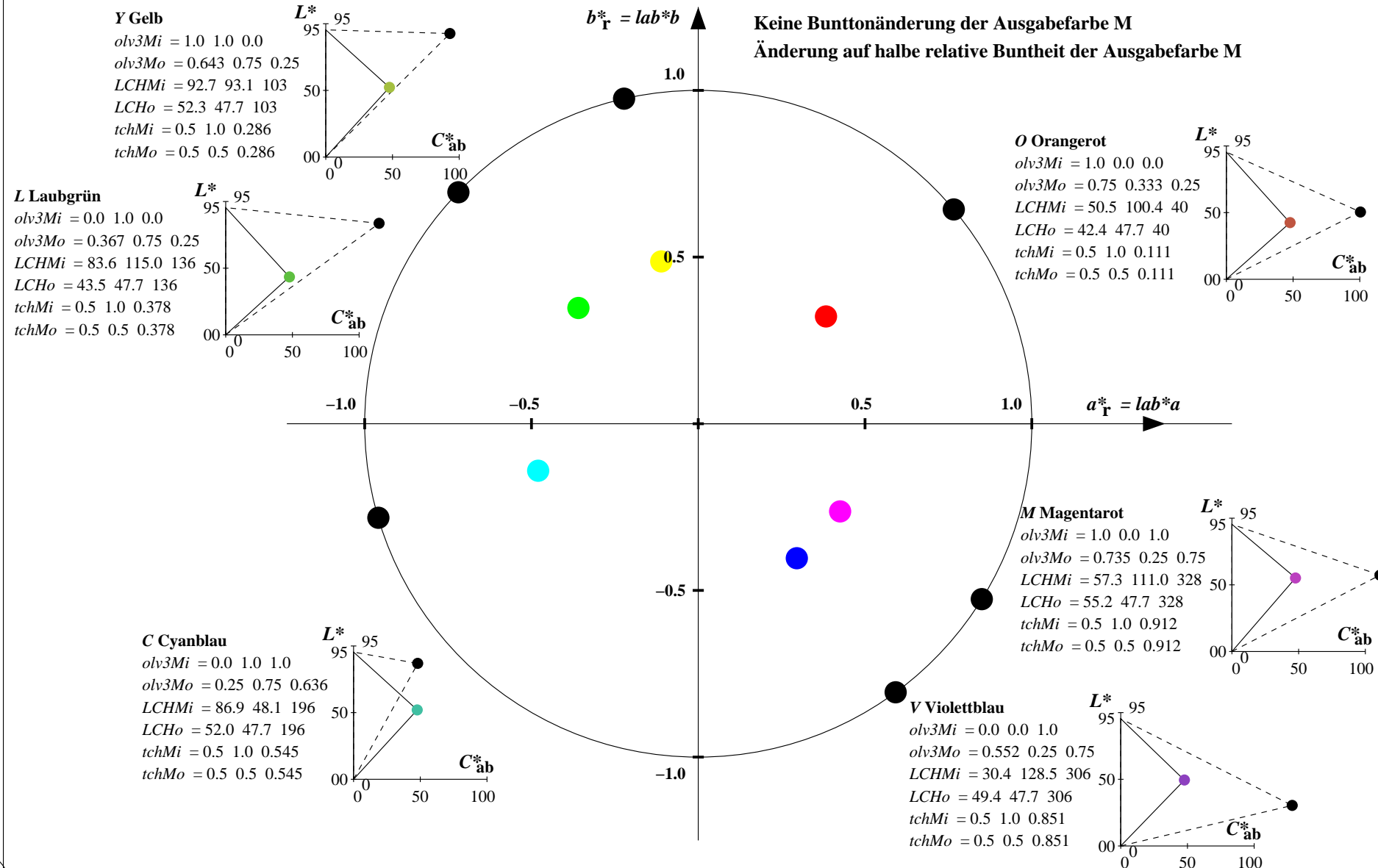
V Violettblau

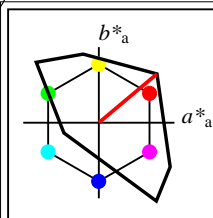
olv3Mi = 0.0 0.0 1.0
olv3Mo = 0.772 0.0 1.0
LCHMi = 30.4 128.5 306
LCHo = 56.3 95.4 316
tchMi = 0.5 1.0 0.851
tchMo = 0.5 1.0 0.879

Bunttonänderung um +10 Grad der Ausgabefarbe M
Keine relative Buntheitsänderung der Ausgabefarbe M



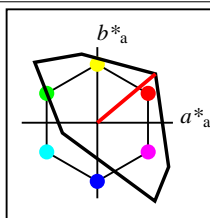
Relatives CIELAB-Buntheitsdiagramm: ($a_R^* = lab^*a$, $b_R^* = lab^*b$) und absolutes CIELAB Bunttondreiecks-Diagramm: (L^* , C_{ab}^*) für Ein- (---) und Ausgabe (----) TLS00: Eingabe (i) Farbmatrik-Sytem; Sechs Bunttonwinkel des Farbgerätes: (40.0, 102.8, 136.0, 196.4, 306.3, 328.2); Vier Bunttonwinkel der Elementarfarben: (25.5, 92.3, 162.2, 271.7) NLS00: Ausgabe (o) Farbmatrik-Sytem; Sechs Bunttonwinkel des Farbgerätes: (30.0, 90.0, 150.0, 210.0, 270.0, 330.0); Vier Bunttonwinkel der Elementarfarben: (25.5, 92.3, 162.2, 271.7)





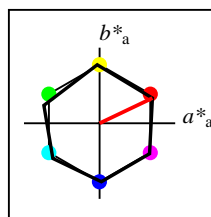
%Umfang
 $u^*_{rel} = 158$
%Regularität
 $g^*_{H,rel} = 20$
 $g^*_{C,rel} = 37$

TLS00	$L^*=L^*_a$	a^*_a	b^*_a	$C^*_{ab,a}$	$h^*_{ab,a}$
O _M	50.5	76.92	64.55	100.42	40
Y _M	92.66	-20.69	90.75	93.08	103
L _M	83.63	-82.75	79.9	115.04	136
C _M	86.88	-46.16	-13.55	48.12	196
V _M	30.39	76.06	-103.59	128.52	306
M _M	57.3	94.35	-58.41	110.97	328
N _M	0.01	0.0	0.0	0.0	0
W _M	95.41	0.0	0.0	0.0	0
R _{CIE}	39.92	58.74	27.99	65.07	25
J _{CIE}	81.26	-2.88	71.56	71.62	92
G _{CIE}	52.23	-42.41	13.6	44.55	162
B _{CIE}	30.57	1.41	-46.46	46.49	272



%Umfang
 $u^*_{rel} = 158$
%Regularität
 $g^*_{H,rel} = 20$
 $g^*_{C,rel} = 37$

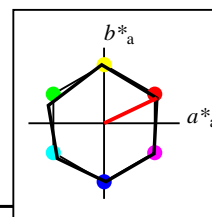
TLS00a; adaptierte CIELAB-Daten	$L^*=L^*_a$	a^*_a	b^*_a	$C^*_{ab,a}$	$h^*_{ab,a}$
O _{Ma}	50.5	76.92	64.55	100.42	40
Y _{Ma}	92.66	-20.69	90.75	93.08	103
L _{Ma}	83.63	-82.75	79.9	115.04	136
C _{Ma}	86.88	-46.16	-13.55	48.12	196
V _{Ma}	30.39	76.06	-103.59	128.52	306
M _{Ma}	57.3	94.35	-58.41	110.97	328
N _{Ma}	0.01	0.0	0.0	0.0	0
W _{Ma}	95.41	0.0	0.0	0.0	0
R _{CIE}	39.92	58.74	27.99	65.07	25
J _{CIE}	81.26	-2.88	71.56	71.62	92
G _{CIE}	52.23	-42.41	13.6	44.55	162
B _{CIE}	30.57	1.41	-46.46	46.49	272



%Umfang
 $u^*_{rel} = 100$
%Regularität
 $g^*_{H,rel} = 78$
 $g^*_{C,rel} = 100$

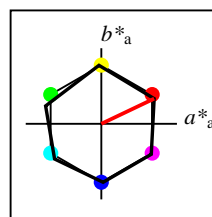
NRS18a; adaptierte CIELAB-Daten	$L^*=L^*_a$	a^*_a	b^*_a	$C^*_{ab,a}$	$h^*_{ab,a}$
O _{Ma}	56.71	69.87	33.29	77.4	25
Y _{Ma}	56.71	-3.1	77.34	77.4	92
L _{Ma}	56.71	-73.68	23.63	77.39	162
C _{Ma}	56.71	-61.81	-46.54	77.39	217
V _{Ma}	56.71	2.35	-77.34	77.39	272
M _{Ma}	56.71	66.07	-40.3	77.4	329
N _{Ma}	18.01	0.0	0.0	0.0	0
W _{Ma}	95.41	0.0	0.0	0.0	0
R _{CIE}	39.92	58.74	27.99	65.07	25
J _{CIE}	81.26	-2.88	71.56	71.62	92
G _{CIE}	52.23	-42.41	13.6	44.55	162
B _{CIE}	30.57	1.41	-46.46	46.49	272

Workflow-Wahlen
für Farbmuster:
1. keine Farbänderung
2. Buntton-Änderung
3. Buntheits-Änderung



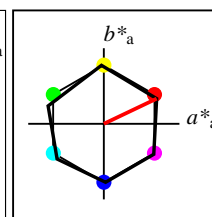
%Umfang
 $u^*_{rel} = 100$
%Regularität
 $g^*_{H,rel} = 78$
 $g^*_{C,rel} = 100$

NRS18a; adaptierte CIELAB-Daten	$L^*=L^*_a$	a^*_a	b^*_a	$C^*_{ab,a}$	$h^*_{ab,a}$
O _{Ma}	56.71	69.87	33.29	77.4	25
Y _{Ma}	56.71	-3.1	77.34	77.4	92
L _{Ma}	56.71	-73.68	23.63	77.39	162
C _{Ma}	56.71	-61.81	-46.54	77.39	217
V _{Ma}	56.71	2.35	-77.34	77.39	272
M _{Ma}	56.71	66.07	-40.3	77.4	329
N _{Ma}	18.01	0.0	0.0	0.0	0
W _{Ma}	95.41	0.0	0.0	0.0	0
R _{CIE}	39.92	58.74	27.99	65.07	25
J _{CIE}	81.26	-2.88	71.56	71.62	92
G _{CIE}	52.23	-42.41	13.6	44.55	162
B _{CIE}	30.57	1.41	-46.46	46.49	272



%Umfang
 $u^*_{rel} = 100$
%Regularität
 $g^*_{H,rel} = 78$
 $g^*_{C,rel} = 100$

NRS18a; adaptierte CIELAB-Daten	$L^*=L^*_a$	a^*_a	b^*_a	$C^*_{ab,a}$	$h^*_{ab,a}$
O _{Ma}	56.71	69.87	33.29	77.4	25
Y _{Ma}	56.71	-3.1	77.34	77.4	92
L _{Ma}	56.71	-73.68	23.63	77.39	162
C _{Ma}	56.71	-61.81	-46.54	77.39	217
V _{Ma}	56.71	2.35	-77.34	77.39	272
M _{Ma}	56.71	66.07	-40.3	77.4	329
N _{Ma}	18.01	0.0	0.0	0.0	0
W _{Ma}	95.41	0.0	0.0	0.0	0
R _{CIE}	39.92	58.74	27.99	65.07	25
J _{CIE}	81.26	-2.88	71.56	71.62	92
G _{CIE}	52.23	-42.41	13.6	44.55	162
B _{CIE}	30.57	1.41	-46.46	46.49	272



%Umfang
 $u^*_{rel} = 100$
%Regularität
 $g^*_{H,rel} = 78$
 $g^*_{C,rel} = 100$

NRS18	$L^*=L^*_a$	a^*_a	b^*_a	$C^*_{ab,a}$	$h^*_{ab,a}$
O _M	56.71	69.87	33.29	77.4	25
Y _M	56.71	-3.1	77.34	77.4	92
L _M	56.71	-73.68	23.63	77.39	162
C _M	56.71	-61.81	-46.54	77.39	217
V _M	56.71	2.35	-77.34	77.39	272
M _M	56.71	66.07	-40.3	77.4	329
N _M	18.01	0.0	0.0	0.0	0
W _M	95.41	0.0	0.0	0.0	0
R _{CIE}	39.92	58.74	27.99	65.07	25
J _{CIE}	81.26	-2.88	71.56	71.62	92
G _{CIE}	52.23	-42.41	13.6	44.55	162
B _{CIE}	30.57	1.41	-46.46	46.49	272

Relatives CIELAB-Buntheitsdiagramm: ($a^*_r = lab^*a$, $b^*_r = lab^*b$) und absolutes CIELAB Bunttondreiecks-Diagramm: (L^* , C^*_{ab}) für Ein- (---) und Ausgabe (----) TLS00: Eingabe (i) Farbmatrik-Sytem; Sechs Bunttonwinkel des Farbgerätes: (40.0, 102.8, 136.0, 196.4, 306.3, 328.2); Vier Bunttonwinkel der Elementarfarben: (25.5, 92.3, 162.2, 271.7) NRS18: Ausgabe (o) Farbmatrik-Sytem; Sechs Bunttonwinkel des Farbgerätes: (25.5, 92.3, 162.2, 217.0, 271.7, 328.6); Vier Bunttonwinkel der Elementarfarben: (25.5, 92.3, 162.2, 271.7)

Y Gelb

olv3Mi = 1.0 1.0 0.0
olv3Mo = 0.849 1.0 0.0
LCHMi = 92.7 93.1 103
LCHo = 56.7 77.4 103
tchMi = 0.5 1.0 0.286
tchMo = 0.5 1.0 0.286

L Laubgrün

olv3Mi = 0.0 1.0 0.0
olv3Mo = 0.375 1.0 0.0
LCHMi = 83.6 115.0 136
LCHo = 56.7 77.4 136
tchMi = 0.5 1.0 0.378
tchMo = 0.5 1.0 0.378

C Cyanblau

olv3Mi = 0.0 1.0 1.0
olv3Mo = 0.0 1.0 0.624
LCHMi = 86.9 48.1 196
LCHo = 56.7 77.4 196
tchMi = 0.5 1.0 0.545
tchMo = 0.5 1.0 0.545

O Orangerot

olv3Mi = 1.0 0.0 0.0
olv3Mo = 1.0 0.217 0.0
LCHMi = 50.5 100.4 40
LCHo = 56.7 77.4 40
tchMi = 0.5 1.0 0.111
tchMo = 0.5 1.0 0.111

M Magentarot

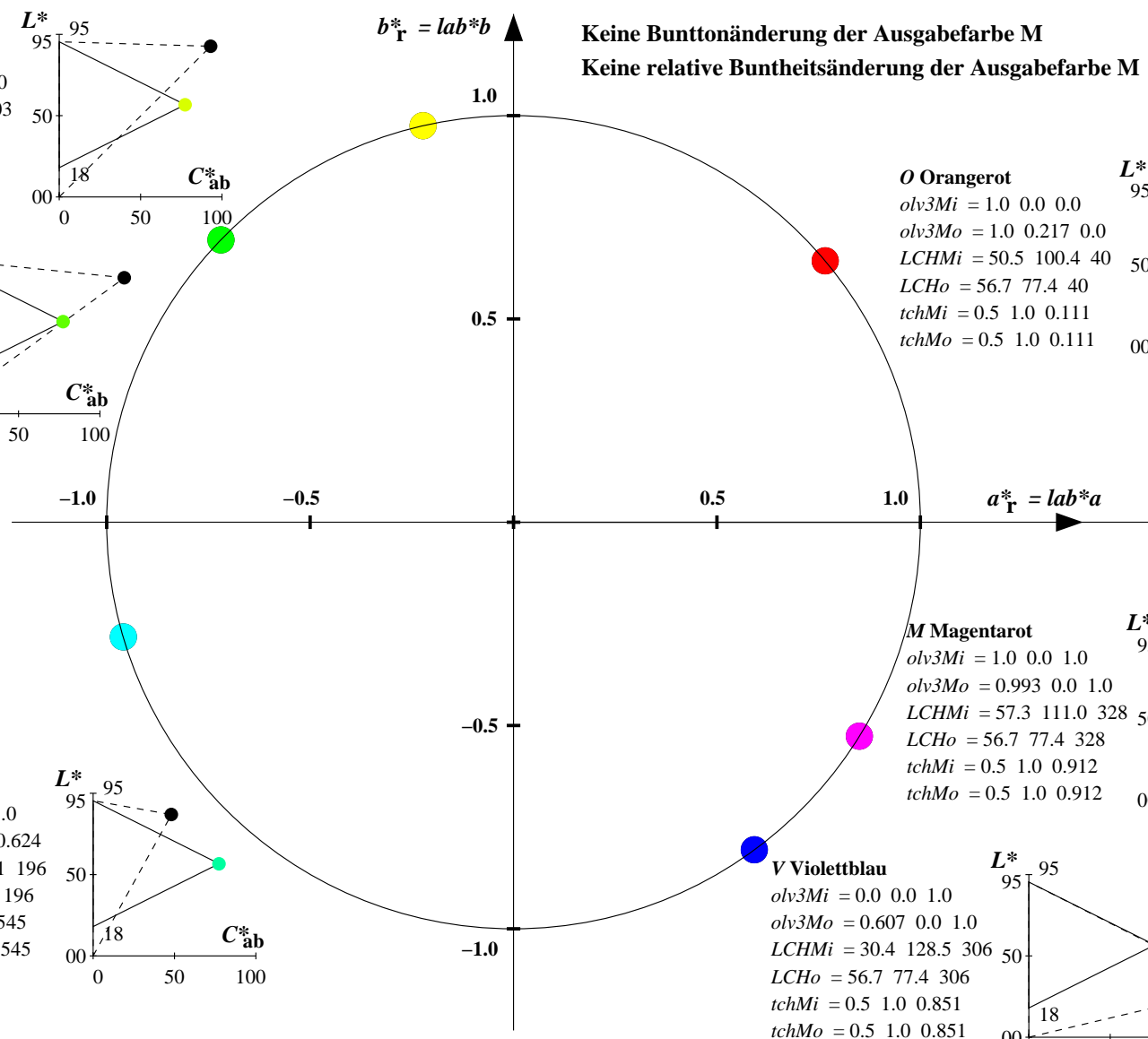
olv3Mi = 1.0 0.0 1.0
olv3Mo = 0.993 0.0 1.0
LCHMi = 57.3 111.0 328
LCHo = 56.7 77.4 328
tchMi = 0.5 1.0 0.912
tchMo = 0.5 1.0 0.912

V Violettblau

olv3Mi = 0.0 0.0 1.0
olv3Mo = 0.607 0.0 1.0
LCHMi = 30.4 128.5 306
LCHo = 56.7 77.4 306
tchMi = 0.5 1.0 0.851
tchMo = 0.5 1.0 0.851

Keine Bunttonänderung der Ausgabefarbe M

Keine relative Buntheitsänderung der Ausgabefarbe M



Relatives CIELAB-Buntheitsdiagramm: ($a_R^* = lab^*a$, $b_R^* = lab^*b$) und absolutes CIELAB Bunttondreiecks-Diagramm: (L^* , C_{ab}^*) für Ein- (---) und Ausgabe (----) TLS00: Eingabe (i) Farbmatrik-Sytem; Sechs Bunttonwinkel des Farbgerätes: (40.0, 102.8, 136.0, 196.4, 306.3, 328.2); Vier Bunttonwinkel der Elementarfarben: (25.5, 92.3, 162.2, 271.7) NRS18: Ausgabe (o) Farbmatrik-Sytem; Sechs Bunttonwinkel des Farbgerätes: (25.5, 92.3, 162.2, 217.0, 271.7, 328.6); Vier Bunttonwinkel der Elementarfarben: (25.5, 92.3, 162.2, 271.7)

Y Gelb

olv3Mi = 1.0 1.0 0.0
olv3Mo = 0.706 1.0 0.0
LCHMi = 92.7 93.1 103
LCHo = 56.7 77.4 113
tchMi = 0.5 1.0 0.286
tchMo = 0.5 1.0 0.313

L Laubgrün

olv3Mi = 0.0 1.0 0.0
olv3Mo = 0.232 1.0 0.0
LCHMi = 83.6 115.0 136
LCHo = 56.7 77.4 146
tchMi = 0.5 1.0 0.378
tchMo = 0.5 1.0 0.406

C Cyanblau

olv3Mi = 0.0 1.0 1.0
olv3Mo = 0.0 1.0 0.806
LCHMi = 86.9 48.1 196
LCHo = 56.7 77.4 206
tchMi = 0.5 1.0 0.545
tchMo = 0.5 1.0 0.573

O Orangerot

olv3Mi = 1.0 0.0 0.0
olv3Mo = 1.0 0.367 0.0
LCHMi = 50.5 100.4 40
LCHo = 56.7 77.4 50
tchMi = 0.5 1.0 0.111
tchMo = 0.5 1.0 0.139

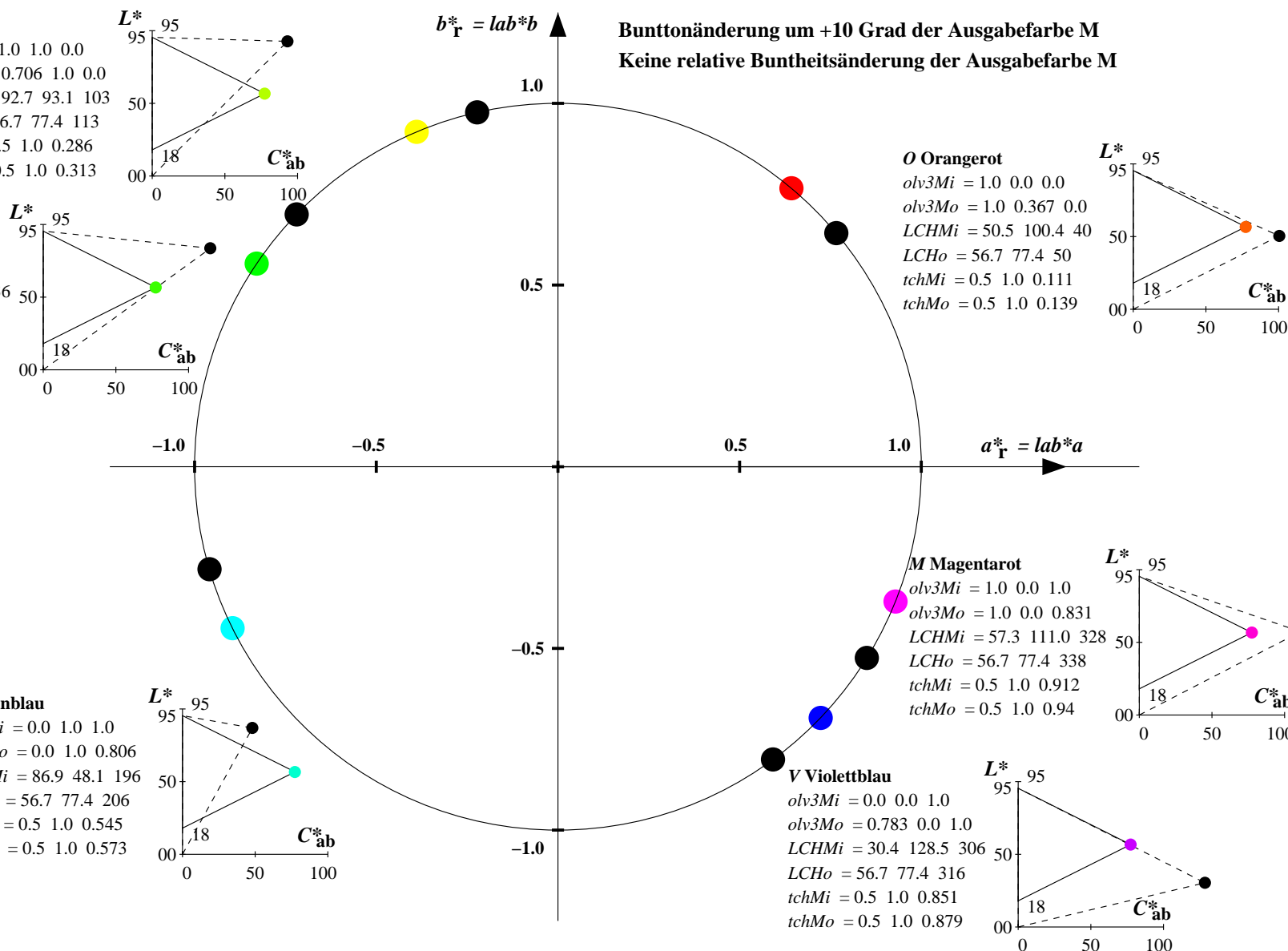
M Magentarot

olv3Mi = 1.0 0.0 1.0
olv3Mo = 1.0 0.0 0.831
LCHMi = 57.3 111.0 328
LCHo = 56.7 77.4 338
tchMi = 0.5 1.0 0.912
tchMo = 0.5 1.0 0.94

V Violettblau

olv3Mi = 0.0 0.0 1.0
olv3Mo = 0.783 0.0 1.0
LCHMi = 30.4 128.5 306
LCHo = 56.7 77.4 316
tchMi = 0.5 1.0 0.851
tchMo = 0.5 1.0 0.879

Bunttonänderung um +10 Grad der Ausgabefarbe M
Keine relative Buntheitsänderung der Ausgabefarbe M



Relatives CIELAB-Buntheitsdiagramm: ($a_R^* = lab^*a$, $b_R^* = lab^*b$) und absolutes CIELAB Bunttondreiecks-Diagramm: (L^* , C_{ab}^*) für Ein- (---) und Ausgabe (----) TLS00: Eingabe (i) Farbmatrik-Sytem; Sechs Bunttonwinkel des Farbgerätes: (40.0, 102.8, 136.0, 196.4, 306.3, 328.2); Vier Bunttonwinkel der Elementarfarben: (25.5, 92.3, 162.2, 271.7) NRS18: Ausgabe (o) Farbmatrik-Sytem; Sechs Bunttonwinkel des Farbgerätes: (25.5, 92.3, 162.2, 217.0, 271.7, 328.6); Vier Bunttonwinkel der Elementarfarben: (25.5, 92.3, 162.2, 271.7)

Y Gelb

olv3Mi = 1.0 1.0 0.0
olv3Mo = 0.675 0.75 0.25
LCHMi = 92.7 93.1 103
LCHo = 52.2 38.7 103
tchMi = 0.5 1.0 0.286
tchMo = 0.5 0.5 0.286

L Laubgrün

olv3Mi = 0.0 1.0 0.0
olv3Mo = 0.437 0.75 0.25
LCHMi = 83.6 115.0 136
LCHo = 52.2 38.7 136
tchMi = 0.5 1.0 0.378
tchMo = 0.5 0.5 0.378

C Cyanblau

olv3Mi = 0.0 1.0 1.0
olv3Mo = 0.25 0.75 0.562
LCHMi = 86.9 48.1 196
LCHo = 52.2 38.7 196
tchMi = 0.5 1.0 0.545
tchMo = 0.5 0.5 0.545

O Orangerot

olv3Mi = 1.0 0.0 0.0
olv3Mo = 0.75 0.359 0.25
LCHMi = 50.5 100.4 40
LCHo = 52.2 38.7 40
tchMi = 0.5 1.0 0.111
tchMo = 0.5 0.5 0.111

M Magentarot

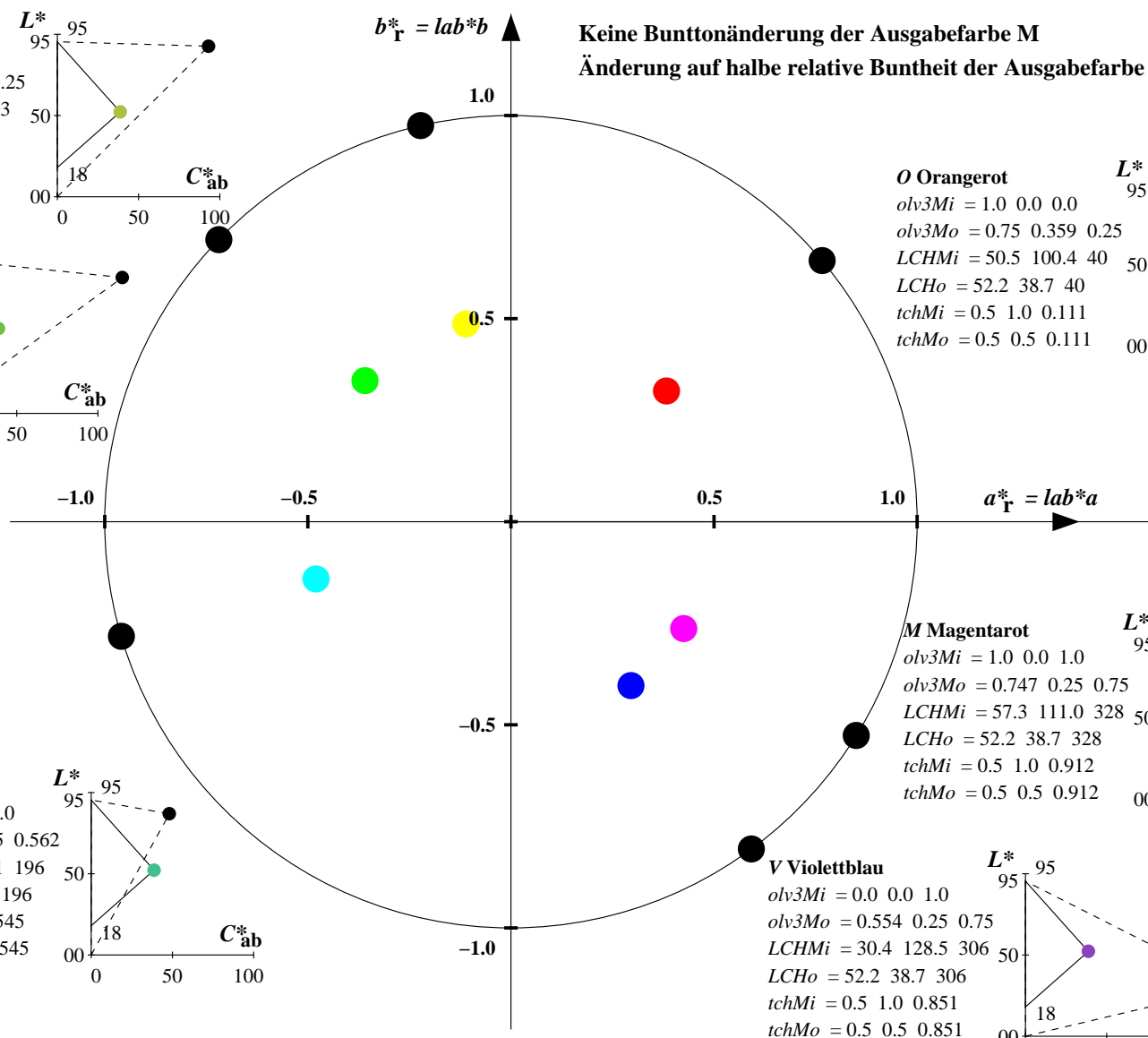
olv3Mi = 1.0 0.0 1.0
olv3Mo = 0.747 0.25 0.75
LCHMi = 57.3 111.0 328
LCHo = 52.2 38.7 328
tchMi = 0.5 1.0 0.912
tchMo = 0.5 0.5 0.912

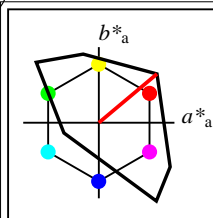
V Violettblau

olv3Mi = 0.0 0.0 1.0
olv3Mo = 0.554 0.25 0.75
LCHMi = 30.4 128.5 306
LCHo = 52.2 38.7 306
tchMi = 0.5 1.0 0.851
tchMo = 0.5 0.5 0.851

Keine Bunttonänderung der Ausgabefarbe M

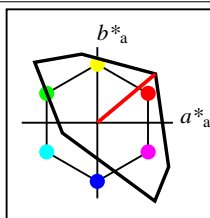
Änderung auf halbe relative Buntheit der Ausgabefarbe M





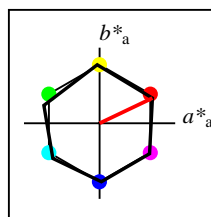
%Umfang
 $u^*_{rel} = 158$
%Regularität
 $g^*_{H,rel} = 20$
 $g^*_{C,rel} = 37$

TLS00	$L^*=L^*_a$	a^*_a	b^*_a	$C^*_{ab,a}$	$h^*_{ab,a}$
O _M	50.5	76.92	64.55	100.42	40
Y _M	92.66	-20.69	90.75	93.08	103
L _M	83.63	-82.75	79.9	115.04	136
C _M	86.88	-46.16	-13.55	48.12	196
V _M	30.39	76.06	-103.59	128.52	306
M _M	57.3	94.35	-58.41	110.97	328
N _M	0.01	0.0	0.0	0.0	0
W _M	95.41	0.0	0.0	0.0	0
R _{CIE}	39.92	58.74	27.99	65.07	25
J _{CIE}	81.26	-2.88	71.56	71.62	92
G _{CIE}	52.23	-42.41	13.6	44.55	162
B _{CIE}	30.57	1.41	-46.46	46.49	272



%Umfang
 $u^*_{rel} = 158$
%Regularität
 $g^*_{H,rel} = 20$
 $g^*_{C,rel} = 37$

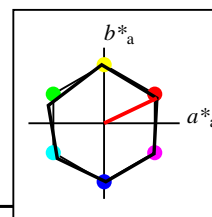
TLS00a; adaptierte CIELAB-Daten	$L^*=L^*_a$	a^*_a	b^*_a	$C^*_{ab,a}$	$h^*_{ab,a}$
O _{Ma}	50.5	76.92	64.55	100.42	40
Y _{Ma}	92.66	-20.69	90.75	93.08	103
L _{Ma}	83.63	-82.75	79.9	115.04	136
C _{Ma}	86.88	-46.16	-13.55	48.12	196
V _{Ma}	30.39	76.06	-103.59	128.52	306
M _{Ma}	57.3	94.35	-58.41	110.97	328
N _{Ma}	0.01	0.0	0.0	0.0	0
W _{Ma}	95.41	0.0	0.0	0.0	0
R _{CIE}	39.92	58.74	27.99	65.07	25
J _{CIE}	81.26	-2.88	71.56	71.62	92
G _{CIE}	52.23	-42.41	13.6	44.55	162
B _{CIE}	30.57	1.41	-46.46	46.49	272



%Umfang
 $u^*_{rel} = 100$
%Regularität
 $g^*_{H,rel} = 78$
 $g^*_{C,rel} = 100$

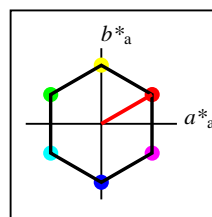
NRS18a; adaptierte CIELAB-Daten	$L^*=L^*_a$	a^*_a	b^*_a	$C^*_{ab,a}$	$h^*_{ab,a}$
O _{Ma}	56.71	69.87	33.29	77.4	25
Y _{Ma}	56.71	-3.1	77.34	77.4	92
L _{Ma}	56.71	-73.68	23.63	77.39	162
C _{Ma}	56.71	-61.81	-46.54	77.39	217
V _{Ma}	56.71	2.35	-77.34	77.39	272
M _{Ma}	56.71	66.07	-40.3	77.4	329
N _{Ma}	18.01	0.0	0.0	0.0	0
W _{Ma}	95.41	0.0	0.0	0.0	0
R _{CIE}	39.92	58.74	27.99	65.07	25
J _{CIE}	81.26	-2.88	71.56	71.62	92
G _{CIE}	52.23	-42.41	13.6	44.55	162
B _{CIE}	30.57	1.41	-46.46	46.49	272

Workflow-Wahlen
für Farbmuster:
1. keine Farbänderung
2. Buntton-Änderung
3. Buntheits-Änderung



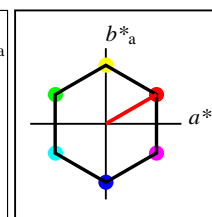
%Umfang
 $u^*_{rel} = 100$
%Regularität
 $g^*_{H,rel} = 78$
 $g^*_{C,rel} = 100$

NRS18a; adaptierte CIELAB-Daten	$L^*=L^*_a$	a^*_a	b^*_a	$C^*_{ab,a}$	$h^*_{ab,a}$
O _{Ma}	56.71	69.87	33.29	77.4	25
Y _{Ma}	56.71	-3.1	77.34	77.4	92
L _{Ma}	56.71	-73.68	23.63	77.39	162
C _{Ma}	56.71	-61.81	-46.54	77.39	217
V _{Ma}	56.71	2.35	-77.34	77.39	272
M _{Ma}	56.71	66.07	-40.3	77.4	329
N _{Ma}	18.01	0.0	0.0	0.0	0
W _{Ma}	95.41	0.0	0.0	0.0	0
R _{CIE}	39.92	58.74	27.99	65.07	25
J _{CIE}	81.26	-2.88	71.56	71.62	92
G _{CIE}	52.23	-42.41	13.6	44.55	162
B _{CIE}	30.57	1.41	-46.46	46.49	272



%Umfang
 $u^*_{rel} = 100$
%Regularität
 $g^*_{H,rel} = 100$
 $g^*_{C,rel} = 100$

SRS18a; adaptierte CIELAB-Daten	$L^*=L^*_a$	a^*_a	b^*_a	$C^*_{ab,a}$	$h^*_{ab,a}$
O _{Ma}	56.71	67.03	38.7	77.4	30
Y _{Ma}	56.71	0.0	77.4	77.4	90
L _{Ma}	56.71	-67.02	38.7	77.4	150
C _{Ma}	56.71	-67.02	-38.69	77.4	210
V _{Ma}	56.71	0.0	-77.39	77.4	270
M _{Ma}	56.71	67.03	-38.69	77.4	330
N _{Ma}	18.01	0.0	0.0	0.0	0
W _{Ma}	95.41	0.0	0.0	0.0	0
R _{CIE}	39.92	58.74	27.99	65.07	25
J _{CIE}	81.26	-2.88	71.56	71.62	92
G _{CIE}	52.23	-42.41	13.6	44.55	162
B _{CIE}	30.57	1.41	-46.46	46.49	272



%Umfang
 $u^*_{rel} = 100$
%Regularität
 $g^*_{H,rel} = 100$
 $g^*_{C,rel} = 100$

SRS18	$L^*=L^*_a$	a^*_a	b^*_a	$C^*_{ab,a}$	$h^*_{ab,a}$
O _M	56.71	67.03	38.7	77.4	30
Y _M	56.71	0.0	77.4	77.4	90
L _M	56.71	-67.02	38.7	77.4	150
C _M	56.71	-67.02	-38.69	77.4	210
V _M	56.71	0.0	-77.39	77.4	270
M _M	56.71	67.03	-38.69	77.4	330
N _M	18.01	0.0	0.0	0.0	0
W _M	95.41	0.0	0.0	0.0	0
R _{CIE}	39.92	58.74	27.99	65.07	25
J _{CIE}	81.26	-2.88	71.56	71.62	92
G _{CIE}	52.23	-42.41	13.6	44.55	162
B _{CIE}	30.57	1.41	-46.46	46.49	272

Relatives CIELAB-Buntheitsdiagramm: ($a^*_r = lab^*a$, $b^*_r = lab^*b$) und absolutes CIELAB Bunttondreiecks-Diagramm: (L^* , C^*_{ab}) für Ein- (---) und Ausgabe (----) TLS00: Eingabe (i) Farbmatrik-Sytem; Sechs Bunttonwinkel des Farbgerätes: (40.0, 102.8, 136.0, 196.4, 306.3, 328.2); Vier Bunttonwinkel der Elementarfarben: (25.5, 92.3, 162.2, 271.7) SRS18: Ausgabe (o) Farbmatrik-Sytem; Sechs Bunttonwinkel des Farbgerätes: (30.0, 90.0, 150.0, 210.0, 270.0, 330.0); Vier Bunttonwinkel der Elementarfarben: (25.5, 92.3, 162.2, 271.7)

Y Gelb

$olv3Mi = 1.0 \ 1.0 \ 0.0$
 $olv3Mo = 0.786 \ 1.0 \ 0.0$
 $LCHMi = 92.7 \ 93.1 \ 103$
 $LCHo = 56.7 \ 77.4 \ 103$
 $tchMi = 0.5 \ 1.0 \ 0.286$
 $tchMo = 0.5 \ 1.0 \ 0.286$

L Laubgrün

$olv3Mi = 0.0 \ 1.0 \ 0.0$
 $olv3Mo = 0.233 \ 1.0 \ 0.0$
 $LCHMi = 83.6 \ 115.0 \ 136$
 $LCHo = 56.7 \ 77.4 \ 136$
 $tchMi = 0.5 \ 1.0 \ 0.378$
 $tchMo = 0.5 \ 1.0 \ 0.378$

C Cyanblau

$olv3Mi = 0.0 \ 1.0 \ 1.0$
 $olv3Mo = 0.0 \ 1.0 \ 0.773$
 $LCHMi = 86.9 \ 48.1 \ 196$
 $LCHo = 56.7 \ 77.4 \ 196$
 $tchMi = 0.5 \ 1.0 \ 0.545$
 $tchMo = 0.5 \ 1.0 \ 0.545$

O Orangerot

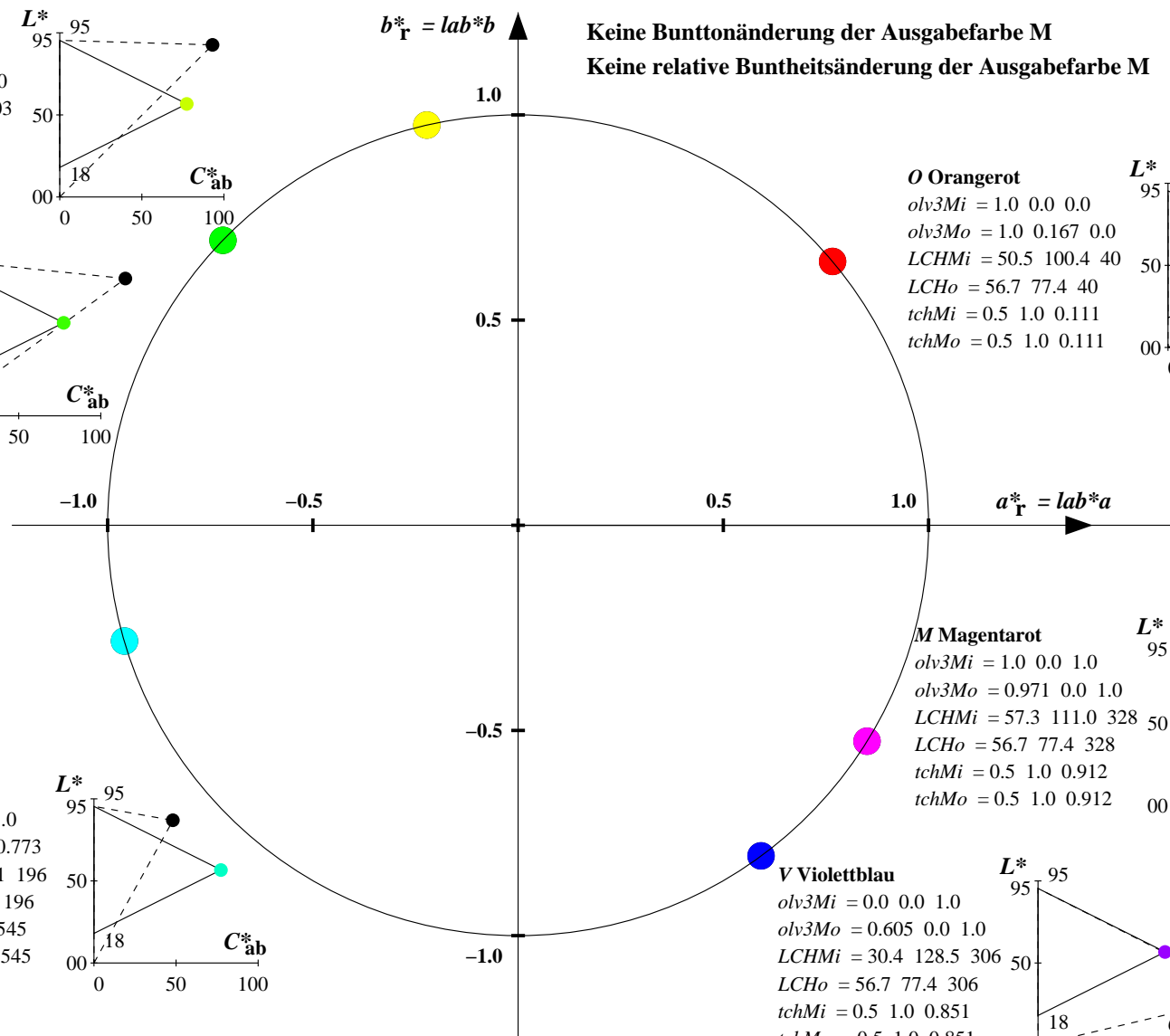
$olv3Mi = 1.0 \ 0.0 \ 0.0$
 $olv3Mo = 1.0 \ 0.167 \ 0.0$
 $LCHMi = 50.5 \ 100.4 \ 40$
 $LCHo = 56.7 \ 77.4 \ 40$
 $tchMi = 0.5 \ 1.0 \ 0.111$
 $tchMo = 0.5 \ 1.0 \ 0.111$

M Magentarot

$olv3Mi = 1.0 \ 0.0 \ 1.0$
 $olv3Mo = 0.971 \ 0.0 \ 1.0$
 $LCHMi = 57.3 \ 111.0 \ 328$
 $LCHo = 56.7 \ 77.4 \ 328$
 $tchMi = 0.5 \ 1.0 \ 0.912$
 $tchMo = 0.5 \ 1.0 \ 0.912$

V Violettblau

$olv3Mi = 0.0 \ 0.0 \ 1.0$
 $olv3Mo = 0.605 \ 0.0 \ 1.0$
 $LCHMi = 30.4 \ 128.5 \ 306$
 $LCHo = 56.7 \ 77.4 \ 306$
 $tchMi = 0.5 \ 1.0 \ 0.851$
 $tchMo = 0.5 \ 1.0 \ 0.851$



Relatives CIELAB-Buntheitsdiagramm: ($a_R^* = lab^*a$, $b_R^* = lab^*b$) und absolutes CIELAB Bunttendreiecks-Diagramm: (L^* , C_{ab}^*) für Ein- (---) und Ausgabe (----) TLS00: Eingabe (i) Farbmatrik-Sytem; Sechs Bunttonwinkel des Farbgerätes: (40.0, 102.8, 136.0, 196.4, 306.3, 328.2); Vier Bunttonwinkel der Elementarfarben: (25.5, 92.3, 162.2, 271.7) SRS18: Ausgabe (o) Farbmatrik-Sytem; Sechs Bunttonwinkel des Farbgerätes: (30.0, 90.0, 150.0, 210.0, 270.0, 330.0); Vier Bunttonwinkel der Elementarfarben: (25.5, 92.3, 162.2, 271.7)

Y Gelb

olv3Mi = 1.0 1.0 0.0
olv3Mo = 0.619 1.0 0.0
LCHMi = 92.7 93.1 103
LCHo = 56.7 77.4 113
tchMi = 0.5 1.0 0.286
tchMo = 0.5 1.0 0.313

L Laubgrün

olv3Mi = 0.0 1.0 0.0
olv3Mo = 0.066 1.0 0.0
LCHMi = 83.6 115.0 136
LCHo = 56.7 77.4 146
tchMi = 0.5 1.0 0.378
tchMo = 0.5 1.0 0.406

C Cyanblau

olv3Mi = 0.0 1.0 1.0
olv3Mo = 0.0 1.0 0.94
LCHMi = 86.9 48.1 196
LCHo = 56.7 77.4 206
tchMi = 0.5 1.0 0.545
tchMo = 0.5 1.0 0.573

O Orangerot

olv3Mi = 1.0 0.0 0.0
olv3Mo = 1.0 0.334 0.0
LCHMi = 50.5 100.4 40
LCHo = 56.7 77.4 50
tchMi = 0.5 1.0 0.111
tchMo = 0.5 1.0 0.139

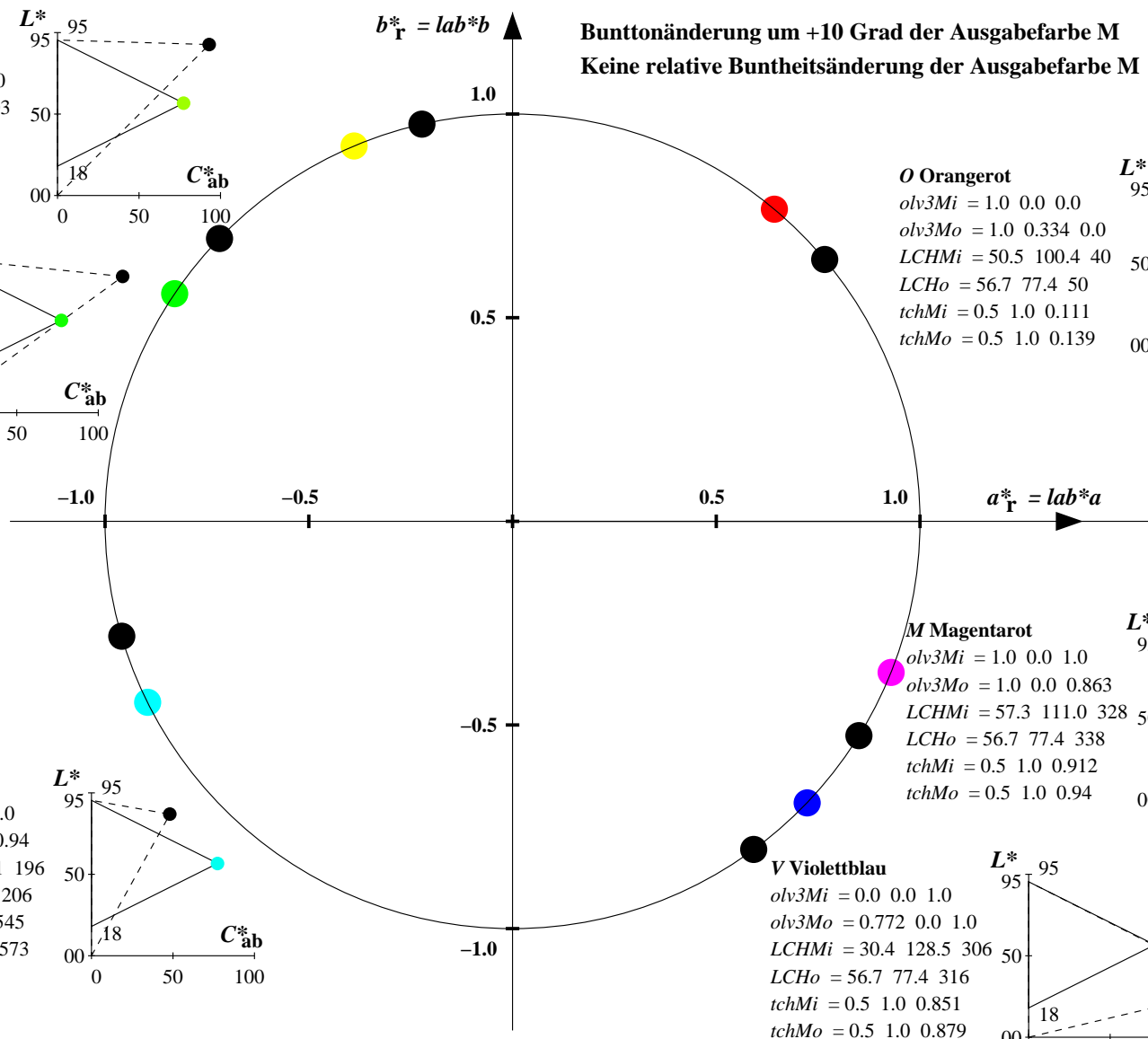
M Magentarot

olv3Mi = 1.0 0.0 1.0
olv3Mo = 1.0 0.0 0.863
LCHMi = 57.3 111.0 328
LCHo = 56.7 77.4 338
tchMi = 0.5 1.0 0.912
tchMo = 0.5 1.0 0.94

V Violettblau

olv3Mi = 0.0 0.0 1.0
olv3Mo = 0.772 0.0 1.0
LCHMi = 30.4 128.5 306
LCHo = 56.7 77.4 316
tchMi = 0.5 1.0 0.851
tchMo = 0.5 1.0 0.879

Bunttonänderung um +10 Grad der Ausgabefarbe M
Keine relative Buntheitsänderung der Ausgabefarbe M



Relatives CIELAB-Buntheitsdiagramm: ($a_R^* = lab^*a$, $b_R^* = lab^*b$) und absolutes CIELAB Bunttondreiecks-Diagramm: (L^* , C_{ab}^*) für Ein- (---) und Ausgabe (----) TLS00: Eingabe (i) Farbmatrik-Sytem; Sechs Bunttonwinkel des Farbgerätes: (40.0, 102.8, 136.0, 196.4, 306.3, 328.2); Vier Bunttonwinkel der Elementarfarben: (25.5, 92.3, 162.2, 271.7) SRS18: Ausgabe (o) Farbmatrik-Sytem; Sechs Bunttonwinkel des Farbgerätes: (30.0, 90.0, 150.0, 210.0, 270.0, 330.0); Vier Bunttonwinkel der Elementarfarben: (25.5, 92.3, 162.2, 271.7)

Y Gelb

olv3Mi = 1.0 1.0 0.0
olv3Mo = 0.643 0.75 0.25
LCHMi = 92.7 93.1 103
LCHo = 52.2 38.7 103
tchMi = 0.5 1.0 0.286
tchMo = 0.5 0.5 0.286

L Laubgrün

olv3Mi = 0.0 1.0 0.0
olv3Mo = 0.367 0.75 0.25
LCHMi = 83.6 115.0 136
LCHo = 52.2 38.7 136
tchMi = 0.5 1.0 0.378
tchMo = 0.5 0.5 0.378

C Cyanblau

olv3Mi = 0.0 1.0 1.0
olv3Mo = 0.25 0.75 0.636
LCHMi = 86.9 48.1 196
LCHo = 52.2 38.7 196
tchMi = 0.5 1.0 0.545
tchMo = 0.5 0.5 0.545

O Orangerot

olv3Mi = 1.0 0.0 0.0
olv3Mo = 0.75 0.333 0.25
LCHMi = 50.5 100.4 40
LCHo = 52.2 38.7 40
tchMi = 0.5 1.0 0.111
tchMo = 0.5 0.5 0.111

M Magentarot

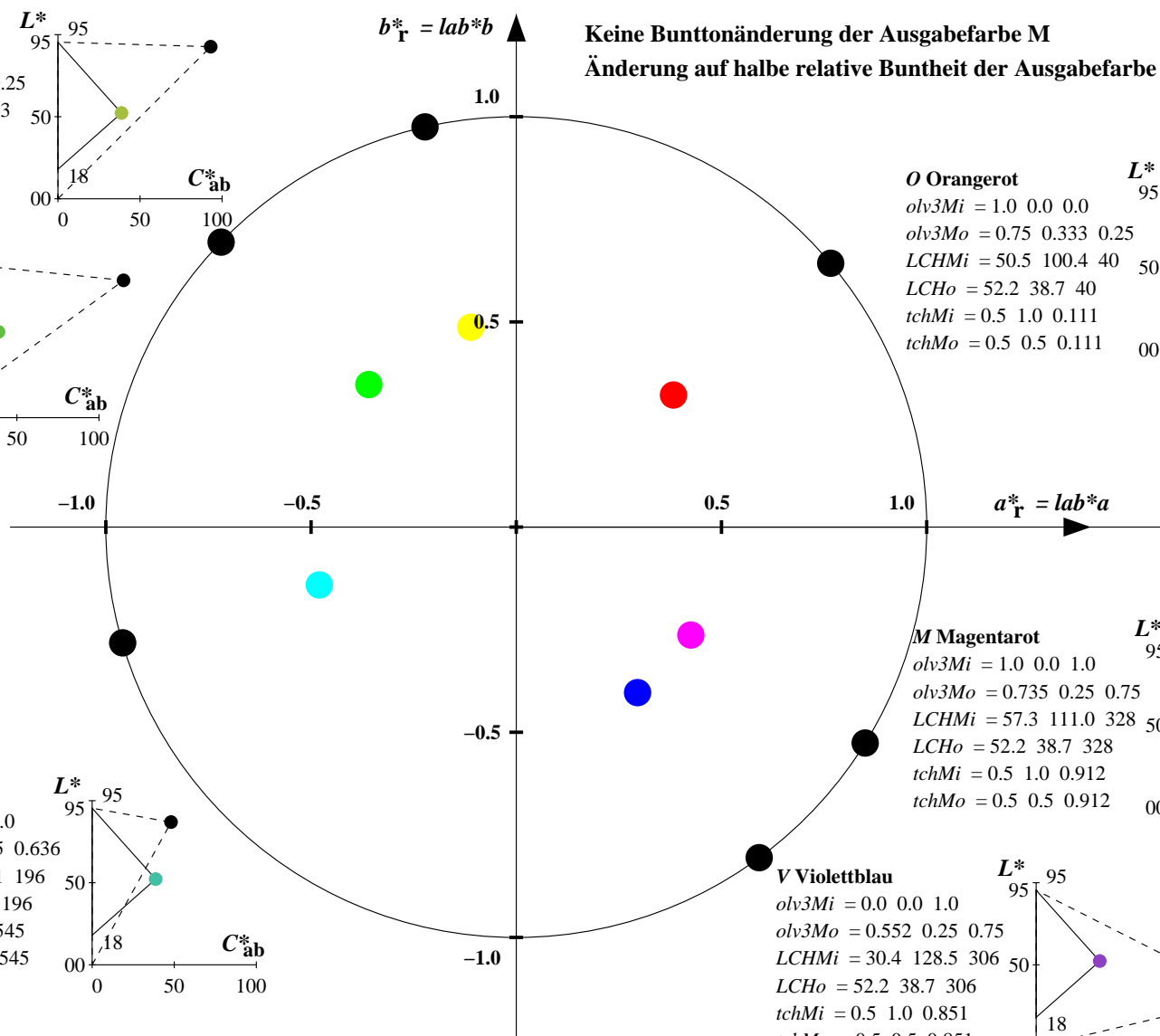
olv3Mi = 1.0 0.0 1.0
olv3Mo = 0.735 0.25 0.75
LCHMi = 57.3 111.0 328
LCHo = 52.2 38.7 328
tchMi = 0.5 1.0 0.912
tchMo = 0.5 0.5 0.912

V Violettblau

olv3Mi = 0.0 0.0 1.0
olv3Mo = 0.552 0.25 0.75
LCHMi = 30.4 128.5 306
LCHo = 52.2 38.7 306
tchMi = 0.5 1.0 0.851
tchMo = 0.5 0.5 0.851

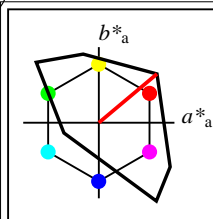
Keine Bunttonänderung der Ausgabefarbe M

Änderung auf halbe relative Buntheit der Ausgabefarbe M



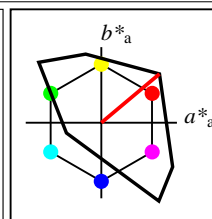
Siehe ähnliche Dateien: <http://www.ps.bam.de/YG61/>
Technische Information: <http://www.ps.bam.de> Version 2.1, io=1,1

BAM-Registrierung: 20061101-YG61/10L/L61G10NP.PS/.PDF BAM-Material: Code=rh4ta
Anwendung für Beurteilung und Messung von Drucker- oder Monitorsystemen
/YG61/ Form: 28/8, Serie: 1/1, Seite: 28 Seite: 28



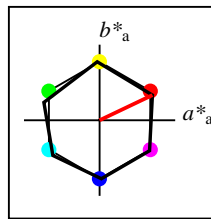
%Umfang
 $u^*_{rel} = 158$
%Regularität
 $g^*_{H,rel} = 20$
 $g^*_{C,rel} = 37$

TLS00	$L^*=L^*_a$	a^*_a	b^*_a	$C^*_{ab,a}$	$h^*_{ab,a}$
O _M	50.5	76.92	64.55	100.42	40
Y _M	92.66	-20.69	90.75	93.08	103
L _M	83.63	-82.75	79.9	115.04	136
C _M	86.88	-46.16	-13.55	48.12	196
V _M	30.39	76.06	-103.59	128.52	306
M _M	57.3	94.35	-58.41	110.97	328
N _M	0.01	0.0	0.0	0.0	0
W _M	95.41	0.0	0.0	0.0	0
R _{CIE}	39.92	58.74	27.99	65.07	25
J _{CIE}	81.26	-2.88	71.56	71.62	92
G _{CIE}	52.23	-42.41	13.6	44.55	162
B _{CIE}	30.57	1.41	-46.46	46.49	272



%Umfang
 $u^*_{rel} = 158$
%Regularität
 $g^*_{H,rel} = 20$
 $g^*_{C,rel} = 37$

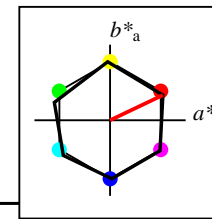
TLS00a; adaptierte CIELAB-Daten	$L^*=L^*_a$	a^*_a	b^*_a	$C^*_{ab,a}$	$h^*_{ab,a}$
O _{Ma}	50.5	76.92	64.55	100.42	40
Y _{Ma}	92.66	-20.69	90.75	93.08	103
L _{Ma}	83.63	-82.75	79.9	115.04	136
C _{Ma}	86.88	-46.16	-13.55	48.12	196
V _{Ma}	30.39	76.06	-103.59	128.52	306
M _{Ma}	57.3	94.35	-58.41	110.97	328
N _{Ma}	0.01	0.0	0.0	0.0	0
W _{Ma}	95.41	0.0	0.0	0.0	0
R _{CIE}	39.92	58.74	27.99	65.07	25
J _{CIE}	81.26	-2.88	71.56	71.62	92
G _{CIE}	52.23	-42.41	13.6	44.55	162
B _{CIE}	30.57	1.41	-46.46	46.49	272



%Umfang
 $u^*_{rel} = 100$
%Regularität
 $g^*_{H,rel} = 78$
 $g^*_{C,rel} = 100$

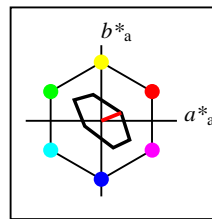
NRS18a; adaptierte CIELAB-Daten	$L^*=L^*_a$	a^*_a	b^*_a	$C^*_{ab,a}$	$h^*_{ab,a}$
O _{Ma}	56.71	69.87	33.29	77.4	25
Y _{Ma}	56.71	-3.1	77.34	77.4	92
L _{Ma}	56.71	-73.68	23.63	77.39	162
C _{Ma}	56.71	-61.81	-46.54	77.39	217
V _{Ma}	56.71	2.35	-77.34	77.39	272
M _{Ma}	56.71	66.07	-40.3	77.4	329
N _{Ma}	18.01	0.0	0.0	0.0	0
W _{Ma}	95.41	0.0	0.0	0.0	0
R _{CIE}	39.92	58.74	27.99	65.07	25
J _{CIE}	81.26	-2.88	71.56	71.62	92
G _{CIE}	52.23	-42.41	13.6	44.55	162
B _{CIE}	30.57	1.41	-46.46	46.49	272

Workflow-Wahlen
für Farbmuster:
1. keine Farbänderung
2. Buntton-Änderung
3. Buntheits-Änderung



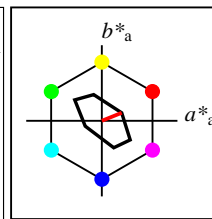
%Umfang
 $u^*_{rel} = 100$
%Regularität
 $g^*_{H,rel} = 78$
 $g^*_{C,rel} = 100$

NRS18a; adaptierte CIELAB-Daten	$L^*=L^*_a$	a^*_a	b^*_a	$C^*_{ab,a}$	$h^*_{ab,a}$
O _{Ma}	56.71	69.87	33.29	77.4	25
Y _{Ma}	56.71	-3.1	77.34	77.4	92
L _{Ma}	56.71	-73.68	23.63	77.39	162
C _{Ma}	56.71	-61.81	-46.54	77.39	217
V _{Ma}	56.71	2.35	-77.34	77.39	272
M _{Ma}	56.71	66.07	-40.3	77.4	329
N _{Ma}	18.01	0.0	0.0	0.0	0
W _{Ma}	95.41	0.0	0.0	0.0	0
R _{CIE}	39.92	58.74	27.99	65.07	25
J _{CIE}	81.26	-2.88	71.56	71.62	92
G _{CIE}	52.23	-42.41	13.6	44.55	162
B _{CIE}	30.57	1.41	-46.46	46.49	272



%Umfang
 $u^*_{rel} = 16$
%Regularität
 $g^*_{H,rel} = 34$
 $g^*_{C,rel} = 51$

TLS70a; adaptierte CIELAB-Daten	$L^*=L^*_a$	a^*_a	b^*_a	$C^*_{ab,a}$	$h^*_{ab,a}$
O _{Ma}	76.43	26.27	10.57	28.32	22
Y _{Ma}	93.93	-10.76	34.63	36.27	107
L _{Ma}	89.32	-35.8	27.64	45.24	142
C _{Ma}	90.93	-21.95	-7.07	23.07	198
V _{Ma}	72.1	15.76	-35.63	38.97	294
M _{Ma}	78.5	37.52	-25.23	45.22	326
N _{Ma}	69.7	0.0	0.0	0.0	0
W _{Ma}	95.41	0.0	0.0	0.0	0
R _{CIE}	39.92	58.74	27.99	65.07	25
J _{CIE}	81.26	-2.88	71.56	71.62	92
G _{CIE}	52.23	-42.41	13.6	44.55	162
B _{CIE}	30.57	1.41	-46.46	46.49	272



%Umfang
 $u^*_{rel} = 16$
%Regularität
 $g^*_{H,rel} = 34$
 $g^*_{C,rel} = 51$

TLS70	$L^*=L^*_a$	a^*_a	b^*_a	$C^*_{ab,a}$	$h^*_{ab,a}$
O _M	76.43	26.27	10.57	28.32	22
Y _M	93.93	-10.76	34.63	36.27	107
L _M	89.32	-35.8	27.64	45.24	142
C _M	90.93	-21.95	-7.07	23.07	198
V _M	72.1	15.76	-35.63	38.97	294
M _M	78.5	37.52	-25.23	45.22	326
N _M	69.7	0.0	0.0	0.0	0
W _M	95.41	0.0	0.0	0.0	0
R _{CIE}	39.92	58.74	27.99	65.07	25
J _{CIE}	81.26	-2.88	71.56	71.62	92
G _{CIE}	52.23	-42.41	13.6	44.55	162
B _{CIE}	30.57	1.41	-46.46	46.49	272

Relatives CIELAB-Buntheitsdiagramm: ($a_R^* = lab^*a$, $b_R^* = lab^*b$) und absolutes CIELAB Bunttondreiecks-Diagramm: (L^* , C_{ab}^*) für Ein- (---) und Ausgabe (----) TLS00: Eingabe (i) Farbmatrik-Sytem; Sechs Bunttonwinkel des Farbgerätes: (40.0, 102.8, 136.0, 196.4, 306.3, 328.2); Vier Bunttonwinkel der Elementarfarben: (25.5, 92.3, 162.2, 271.7) TLS70: Ausgabe (o) Farbmatrik-Sytem; Sechs Bunttonwinkel des Farbgerätes: (21.9, 107.3, 142.3, 197.9, 293.9, 326.1); Vier Bunttonwinkel der Elementarfarben: (25.5, 92.3, 162.2, 271.7)

Y Gelb

olv3Mi = 1.0 1.0 0.0
olv3Mo = 1.0 0.948 0.0
LCHMi = 92.7 93.1 103
LCHo = 93.0 35.9 103
tchMi = 0.5 1.0 0.286
tchMo = 0.5 1.0 0.286

L Laubgrün

olv3Mi = 0.0 1.0 0.0
olv3Mo = 0.181 1.0 0.0
LCHMi = 83.6 115.0 136
LCHo = 90.2 43.6 136
tchMi = 0.5 1.0 0.378
tchMo = 0.5 1.0 0.378

C Cyanblau

olv3Mi = 0.0 1.0 1.0
olv3Mo = 0.0 1.0 0.973
LCHMi = 86.9 48.1 196
LCHo = 90.9 23.7 196
tchMi = 0.5 1.0 0.545
tchMo = 0.5 1.0 0.545

O Orangerot

olv3Mi = 1.0 0.0 0.0
olv3Mo = 1.0 0.212 0.0
LCHMi = 50.5 100.4 40
LCHo = 80.1 30.0 40
tchMi = 0.5 1.0 0.111
tchMo = 0.5 1.0 0.111

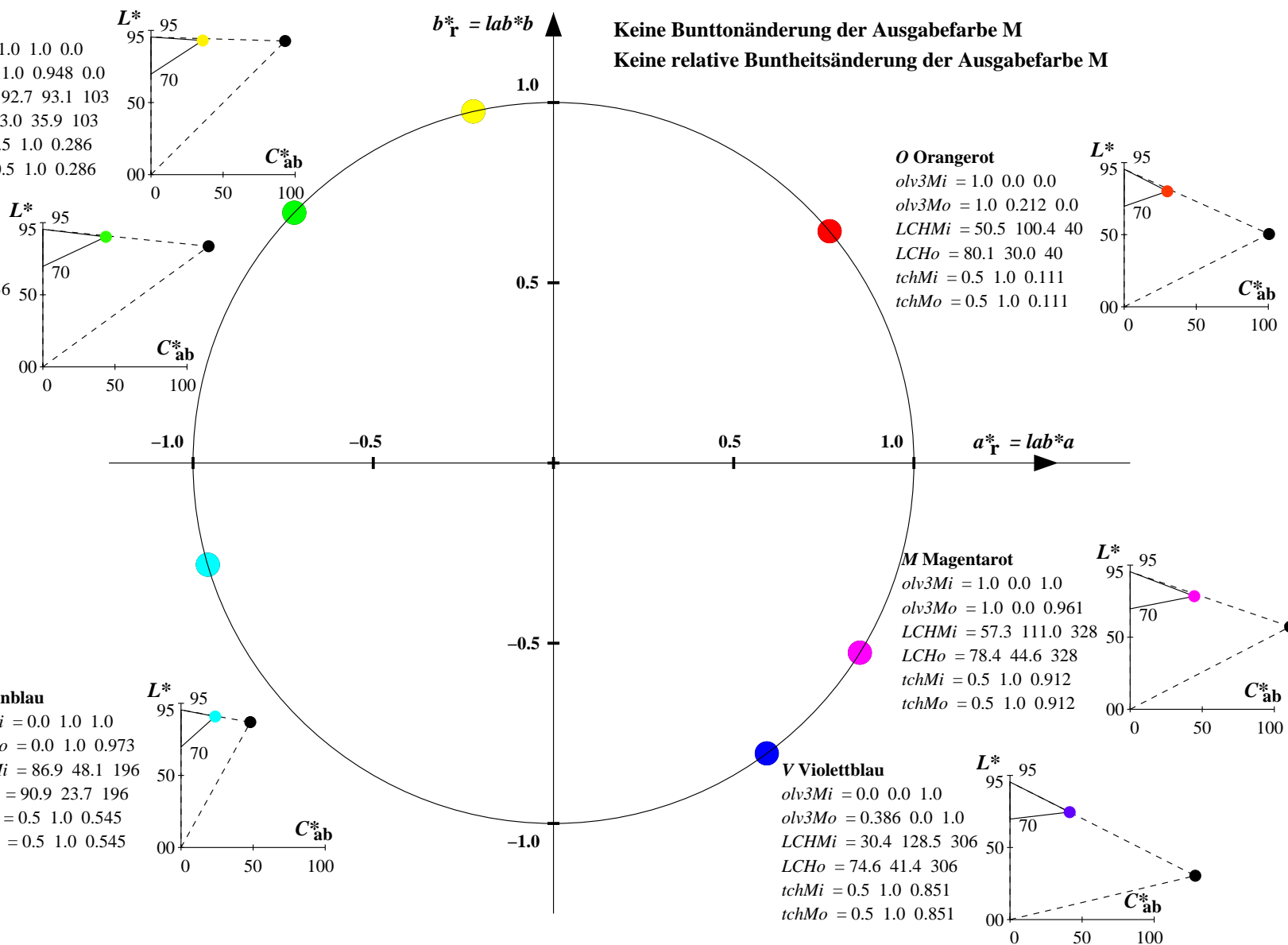
M Magentarot

olv3Mi = 1.0 0.0 1.0
olv3Mo = 1.0 0.0 0.961
LCHMi = 57.3 111.0 328
LCHo = 78.4 44.6 328
tchMi = 0.5 1.0 0.912
tchMo = 0.5 1.0 0.912

V Violettblau

olv3Mi = 0.0 0.0 1.0
olv3Mo = 0.386 0.0 1.0
LCHMi = 30.4 128.5 306
LCHo = 74.6 41.4 306
tchMi = 0.5 1.0 0.851
tchMo = 0.5 1.0 0.851

Keine Bunttonänderung der Ausgabefarbe M
Keine relative Buntheitsänderung der Ausgabefarbe M



Relatives CIELAB-Buntheitsdiagramm: ($a^*_r = lab^*a$, $b^*_r = lab^*b$) und absolutes CIELAB Bunttondreiecks-Diagramm: (L^* , C^*_{ab}) für Ein- (---) und Ausgabe (----) TLS00: Eingabe (i) Farbmatrik-Sytem; Sechs Bunttonwinkel des Farbgerätes: (40.0, 102.8, 136.0, 196.4, 306.3, 328.2); Vier Bunttonwinkel der Elementarfarben: (25.5, 92.3, 162.2, 271.7) TLS70: Ausgabe (o) Farbmatrik-Sytem; Sechs Bunttonwinkel des Farbgerätes: (21.9, 107.3, 142.3, 197.9, 293.9, 326.1); Vier Bunttonwinkel der Elementarfarben: (25.5, 92.3, 162.2, 271.7)

Y Gelb

olv3Mi = 1.0 1.0 0.0
olv3Mo = 0.841 1.0 0.0
LCHMi = 92.7 93.1 103
LCHo = 93.2 37.7 113
tchMi = 0.5 1.0 0.286
tchMo = 0.5 1.0 0.313

L Laubgrün

olv3Mi = 0.0 1.0 0.0
olv3Mo = 0.0 1.0 0.066
LCHMi = 83.6 115.0 136
LCHo = 89.4 43.8 146
tchMi = 0.5 1.0 0.378
tchMo = 0.5 1.0 0.406

C Cyanblau

olv3Mi = 0.0 1.0 1.0
olv3Mo = 0.0 0.911 1.0
LCHMi = 86.9 48.1 196
LCHo = 89.3 24.5 206
tchMi = 0.5 1.0 0.545
tchMo = 0.5 1.0 0.573

O Orangerot

olv3Mi = 1.0 0.0 0.0
olv3Mo = 1.0 0.329 0.0
LCHMi = 50.5 100.4 40
LCHo = 82.2 30.9 50
tchMi = 0.5 1.0 0.111
tchMo = 0.5 1.0 0.139

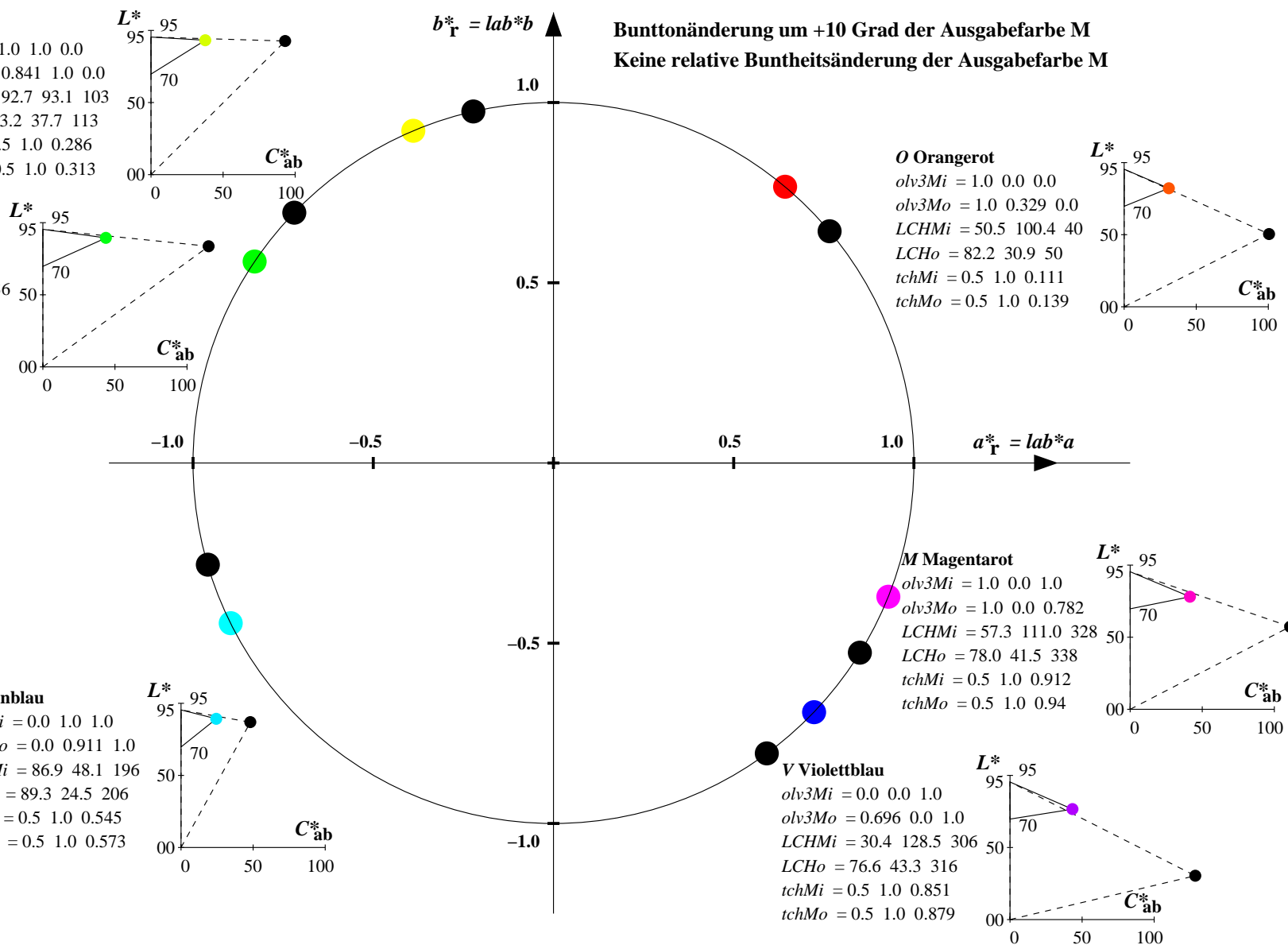
M Magentarot

olv3Mi = 1.0 0.0 1.0
olv3Mo = 1.0 0.0 0.782
LCHMi = 57.3 111.0 328
LCHo = 78.0 41.5 338
tchMi = 0.5 1.0 0.912
tchMo = 0.5 1.0 0.94

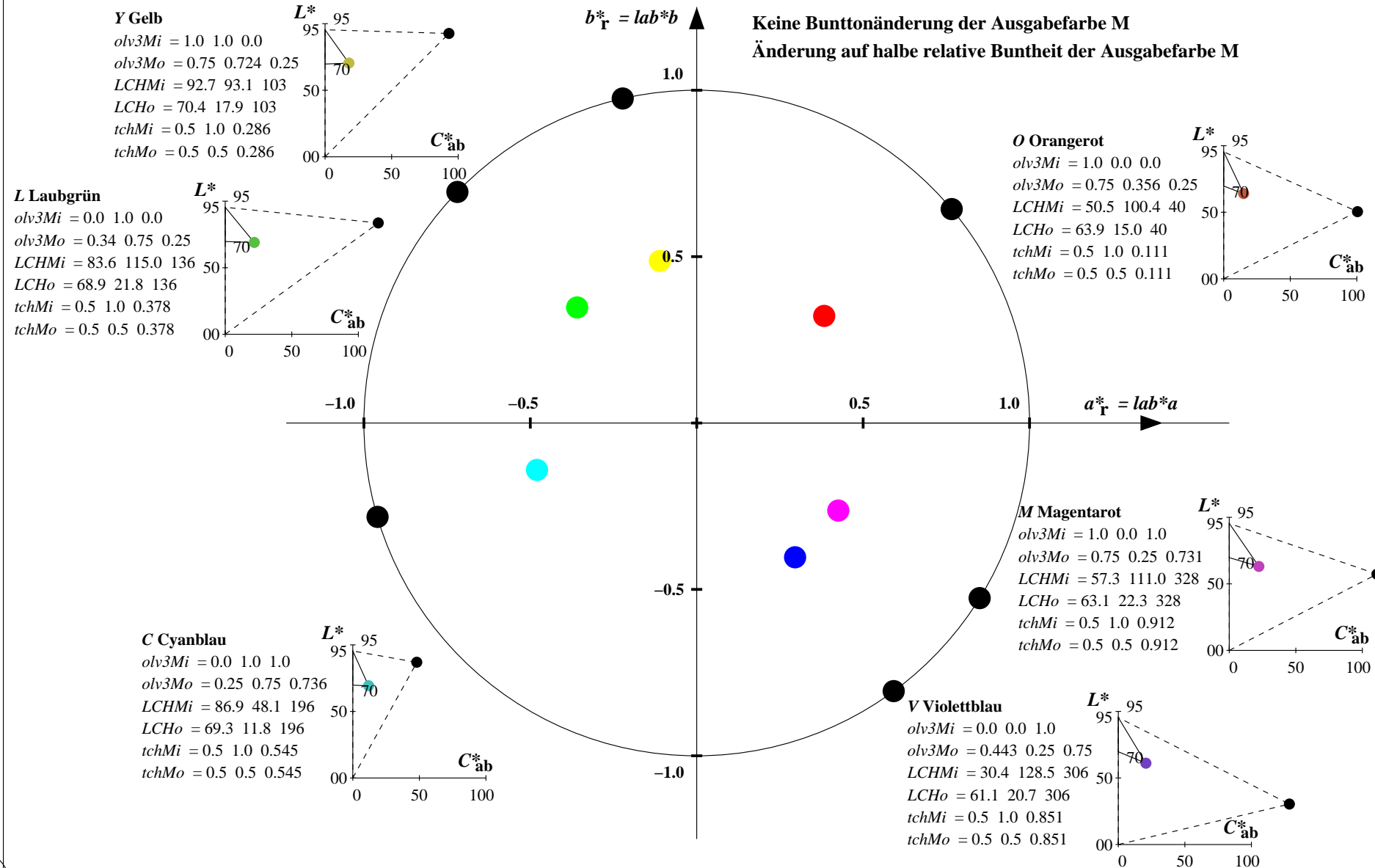
V Violettblau

olv3Mi = 0.0 0.0 1.0
olv3Mo = 0.696 0.0 1.0
LCHMi = 30.4 128.5 306
LCHo = 76.6 43.3 316
tchMi = 0.5 1.0 0.851
tchMo = 0.5 1.0 0.879

Bunttonänderung um +10 Grad der Ausgabefarbe M
Keine relative Buntheitsänderung der Ausgabefarbe M



Relatives CIELAB-Buntheitsdiagramm: ($a_R^* = lab^*a$, $b_R^* = lab^*b$) und absolutes CIELAB Bunttondreiecks-Diagramm: (L^* , C_{ab}^*) für Ein- (---) und Ausgabe (----) TLS00: Eingabe (i) Farbmatrik-Sytem; Sechs Bunttonwinkel des Farbgerätes: (40.0, 102.8, 136.0, 196.4, 306.3, 328.2); Vier Bunttonwinkel der Elementarfarben: (25.5, 92.3, 162.2, 271.7) TLS70: Ausgabe (o) Farbmatrik-Sytem; Sechs Bunttonwinkel des Farbgerätes: (21.9, 107.3, 142.3, 197.9, 293.9, 326.1); Vier Bunttonwinkel der Elementarfarben: (25.5, 92.3, 162.2, 271.7)



YG610-7, Farb-Management-Workflow: Geräte-Farbeingabedaten des Farbenraums TLS00 -> Geräte-Farbausgabedaten des Farbenraums TLS70, Seite 32/32

BAM-Prüfvorlage YG61; Farbmatrikworkflow TLS00->TLS70 Eingabe: olv* setrgbcolor
D65: 6 Grundfarben; Geräte- und Musterdaten; Seite 32/32 Ausgabe: keine Eingabeänderung